

Avaliação Quantitativa Ultrassônica de Estruturas de Concreto

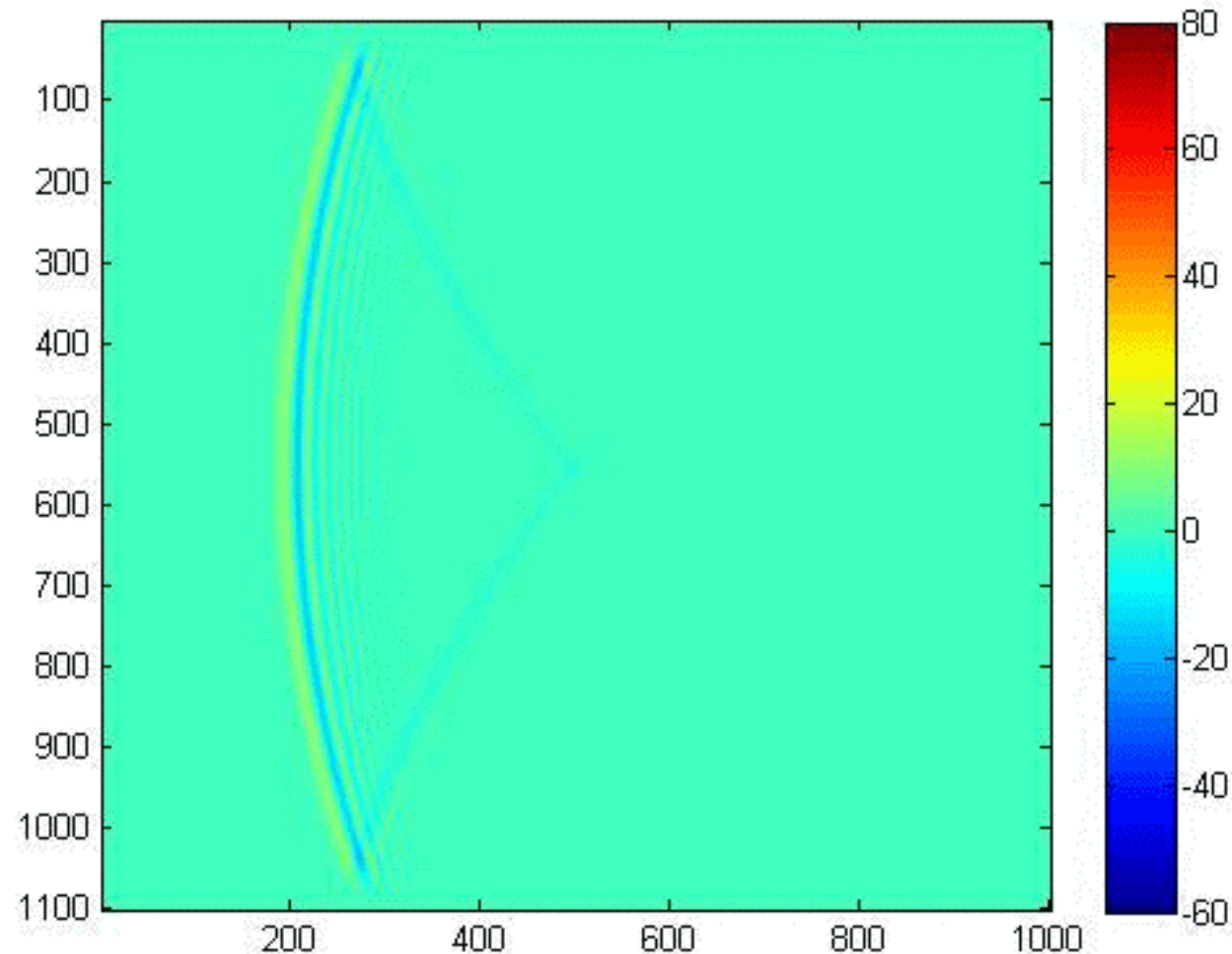
Professor Lev Khazanovich
Dr. Kyle Hoegh



Department of Civil Engineering

Environmental • Geomechanical • Structures • Transportation • Water Resources

- Introduction
 - Active elastic wave-based methods
 - Conventional data interpretation methods
 - Linear array ultrasound systems
- Linear array signal reconstruction and interpretation
- Applications
 - Concrete thickness
 - Reinforcement location
 - Damage assessment
- Conclusions



Chain and Rod Sounding



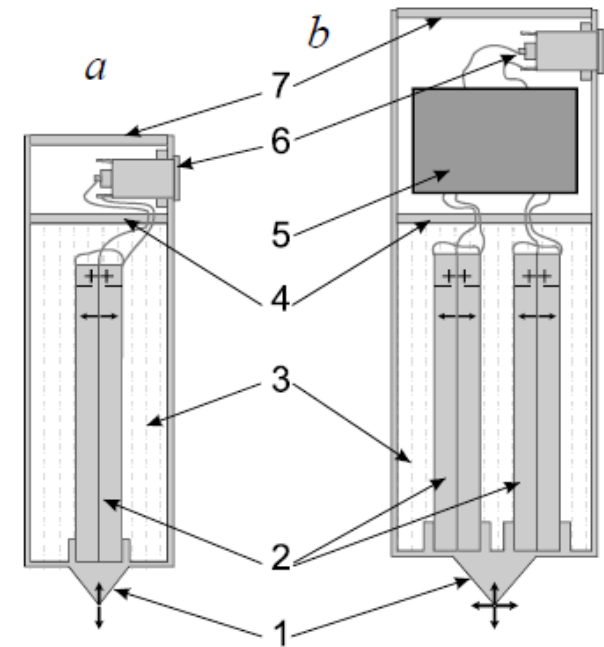
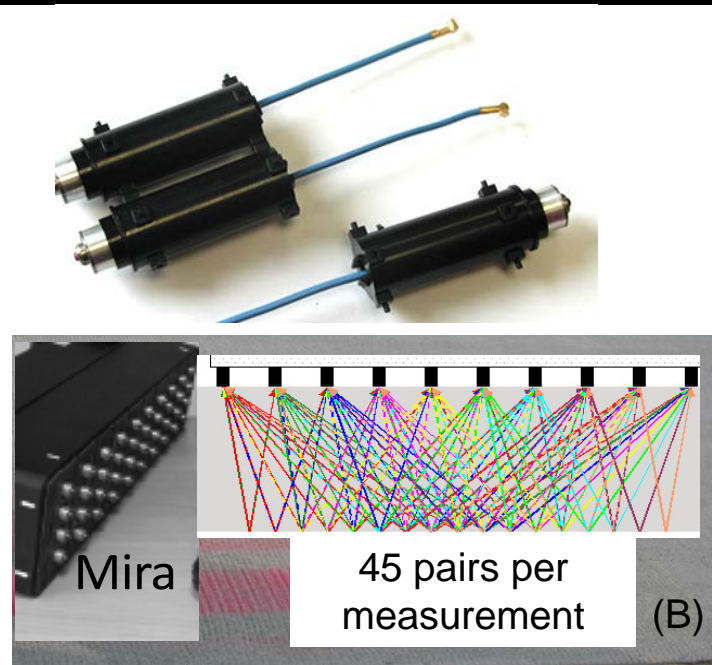
Conventional Impact Echo



Proceq Pundit

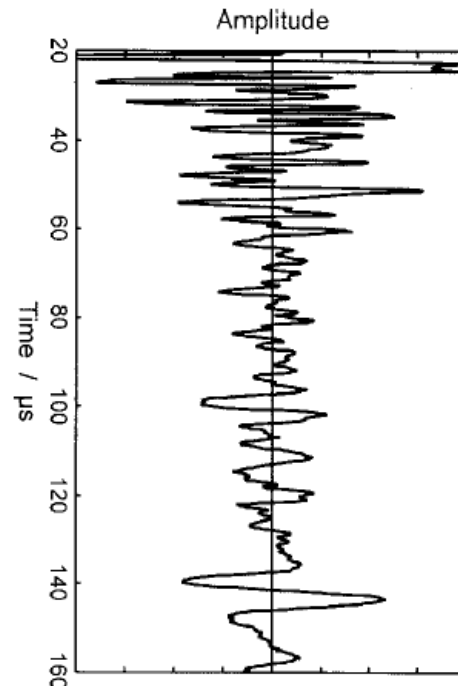
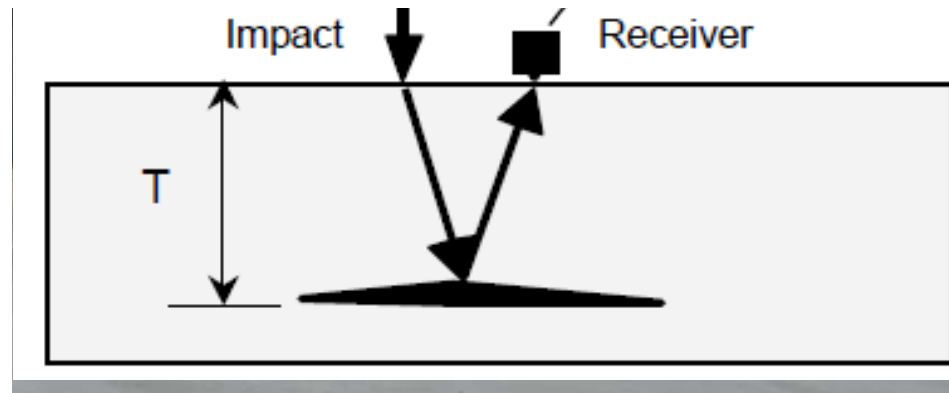


James NDT V-Meter
University of Olson Engineering, Inc.



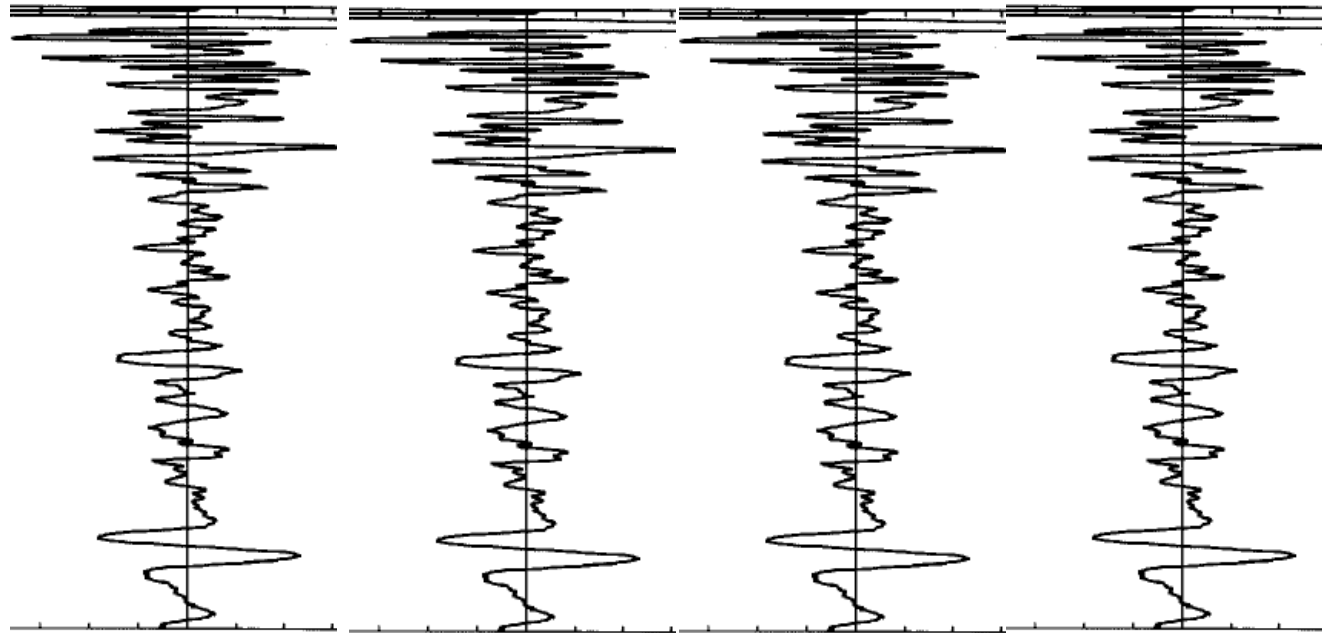
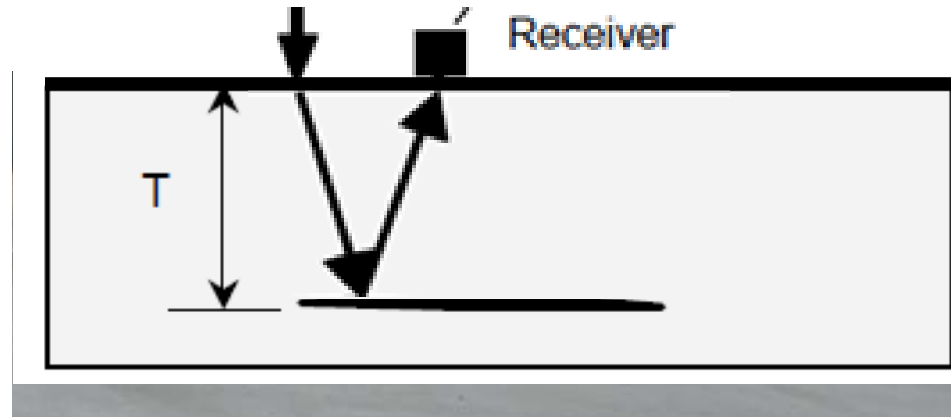
- Ponto Seco de Contato (DPC) – Transdutores de Baixa Frequência
 - Fabricado por Acoustic Control Systems, Ltd, Moscow, Russia
 - Não requer preparo da superfície
 - Aparelhos de toque e medida com alto grau de precisão
 - Os transdutores agem na superfície do objeto de teste com elementos de oscilação piezoelétricos para produção de ondas e captação de sinais
 - out of phase for s-wave production
 - in phase for p-wave production

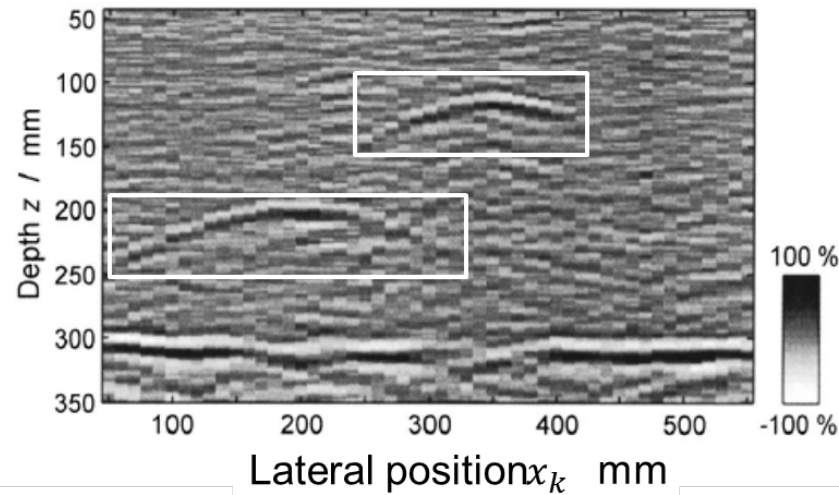
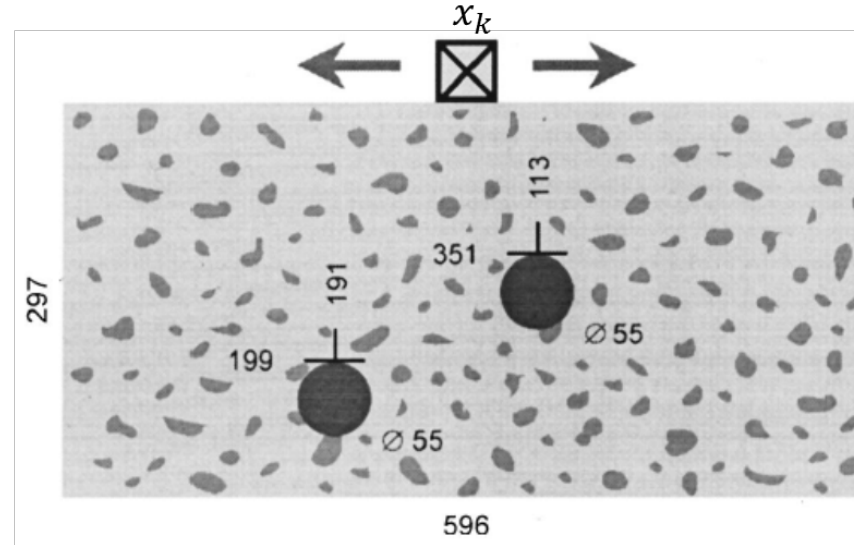
- Representação Convencional
 - A-scans
 - B-scans
- Reconstrução de Métodos
 - Abertura instantânea técnica de abertura focal sintética (SAFT)



$$t = \frac{2z^*}{c}$$

Schickert et al., 2003





Schickert et al., 2003

$$s(x_k, t) = \int_x \int_z f(x, z) \delta(t^*(t, x_k, x, z)) dz dx$$

Onde $s(x_k, t)$ é o estímulo recebido na posição do transdutor, x_k , devido ao pulso emitido $\delta(t^*(t, x_k, x, z))$; $f(x, z)$ é a função de reflexão de ROI; x e z são as coordenadas horizontal e vertical em ROI, respectivamente

t^* é definido pela seguinte relação:

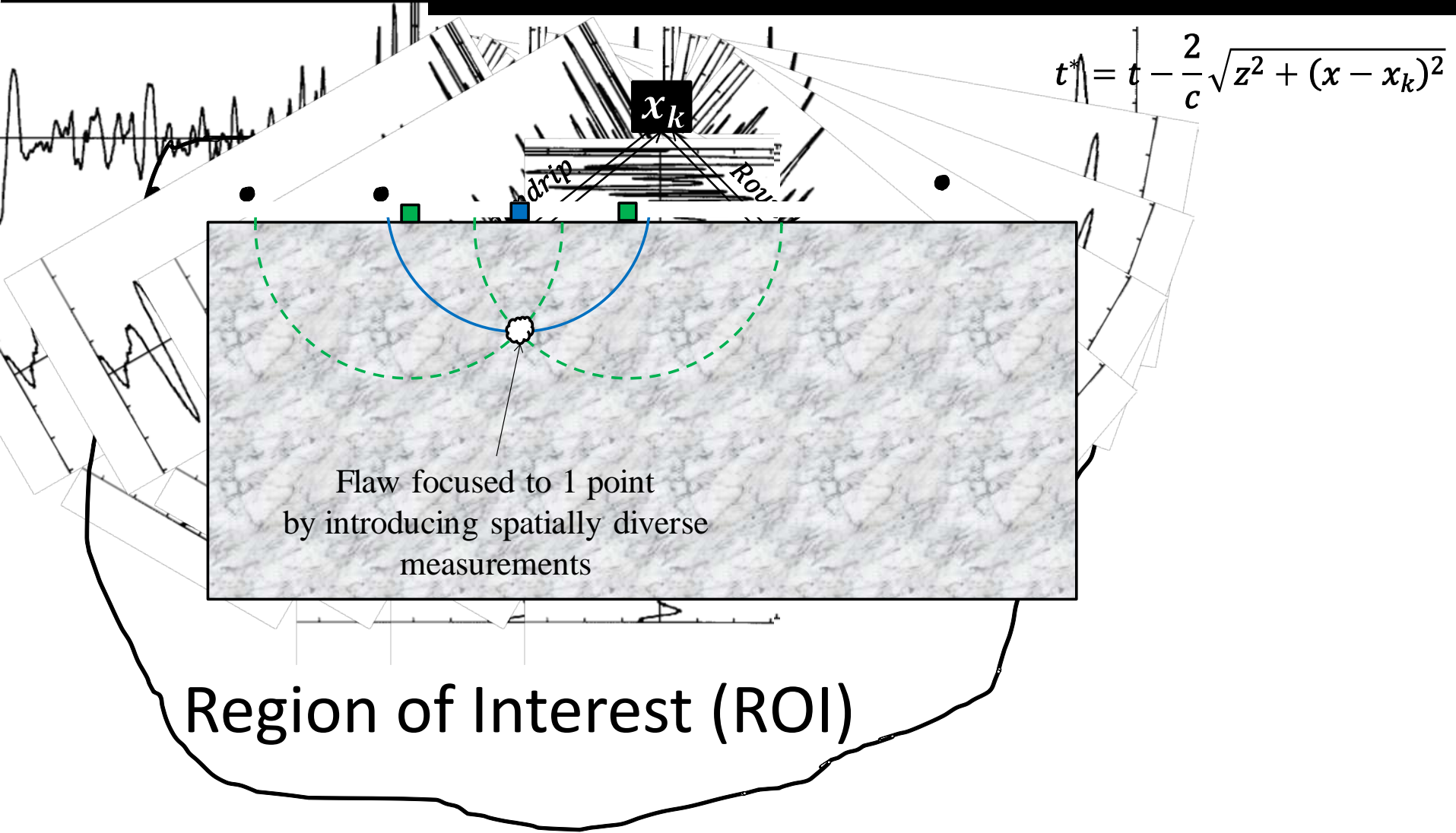
$$t^* = t - \frac{2}{c} \sqrt{z^2 + (x - x_k)^2}$$

Bamler 1992

$$\Psi_R = \frac{C_{s1}\rho_1 - C_{s2}\rho_2}{C_{s1}\rho_1 + C_{s2}\rho_2} \Psi_I = \frac{Z_1 - Z_2}{Z_1 + Z_2} \Psi_I = R_{1,2} \Psi_I$$

Reflection Coefficient, R

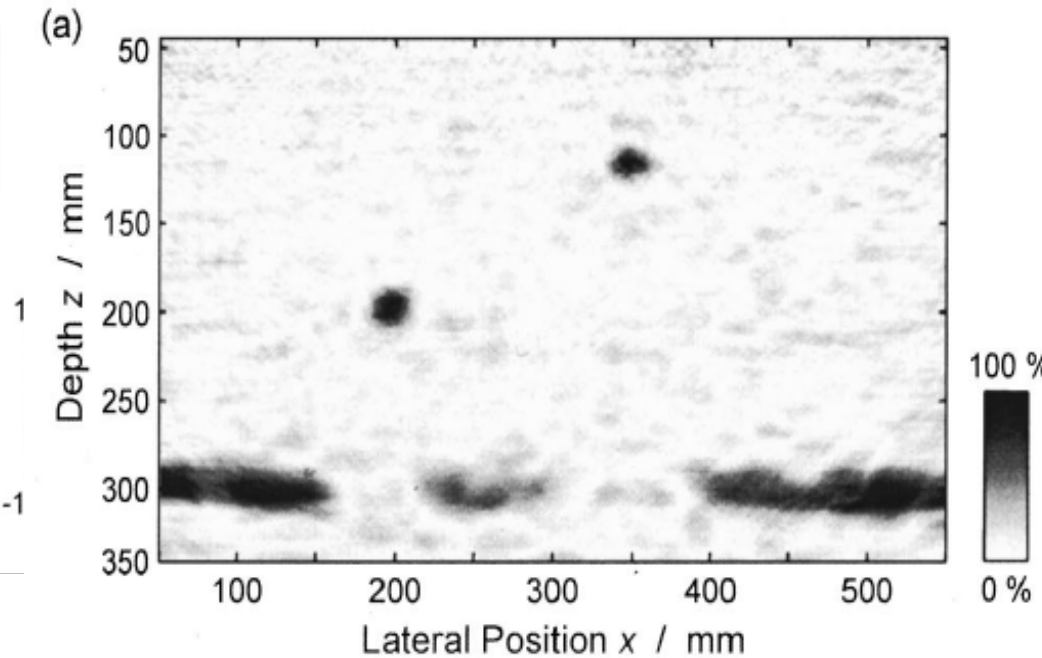
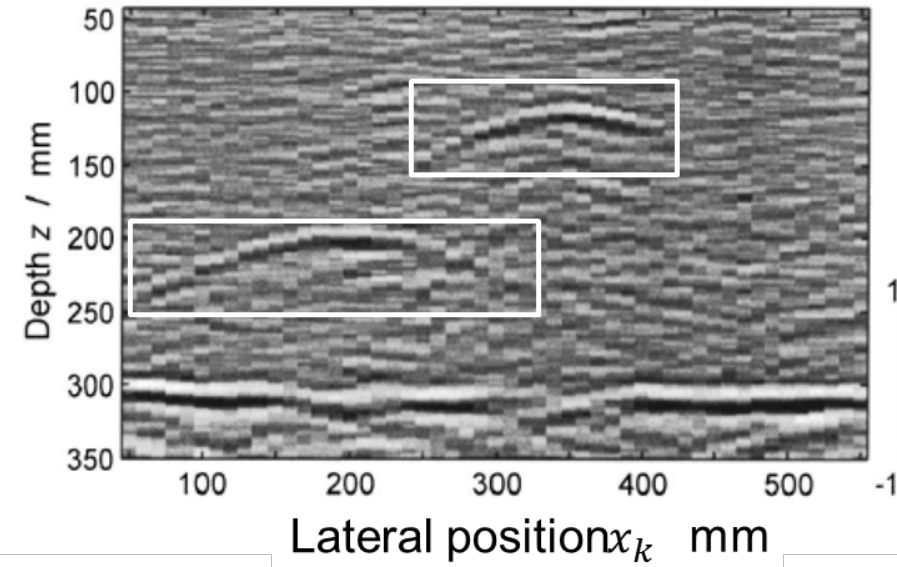
Kirchhoff Migration



B-Scan vs Kirchhoff Migration

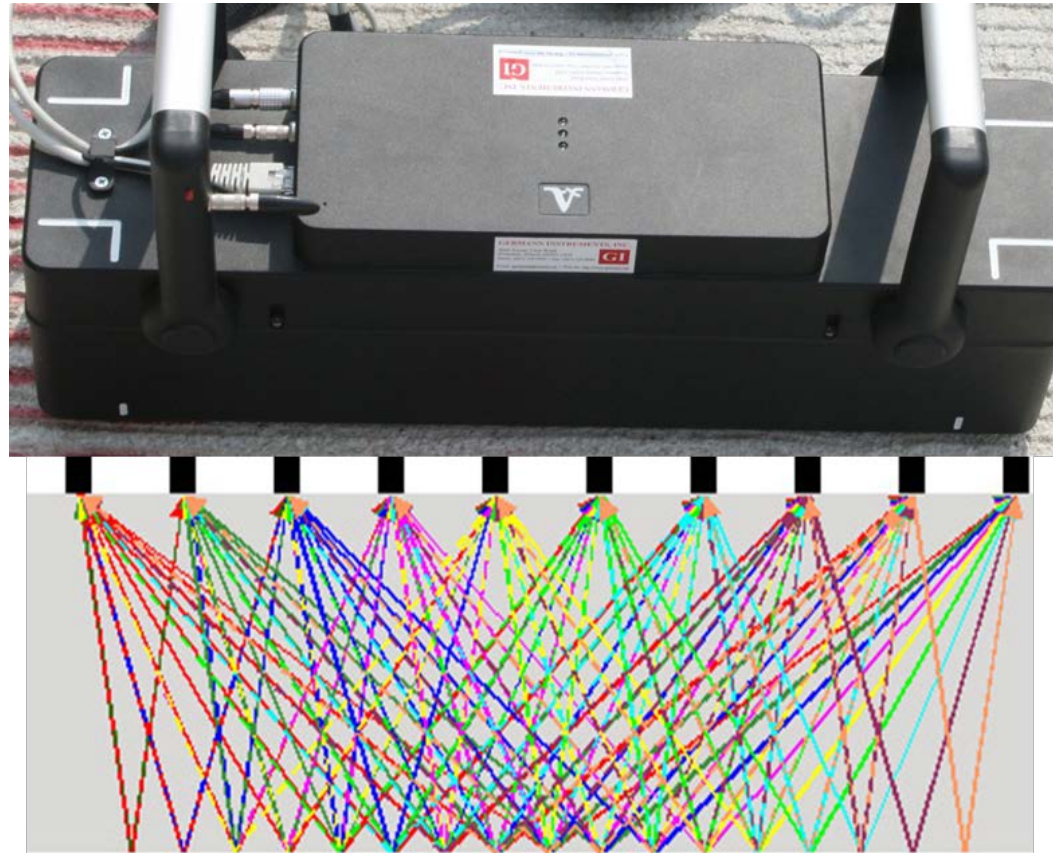
B-SCAN

Kirchhoff Migration or Synthetic Aperture Focusing Technique (SAFT)

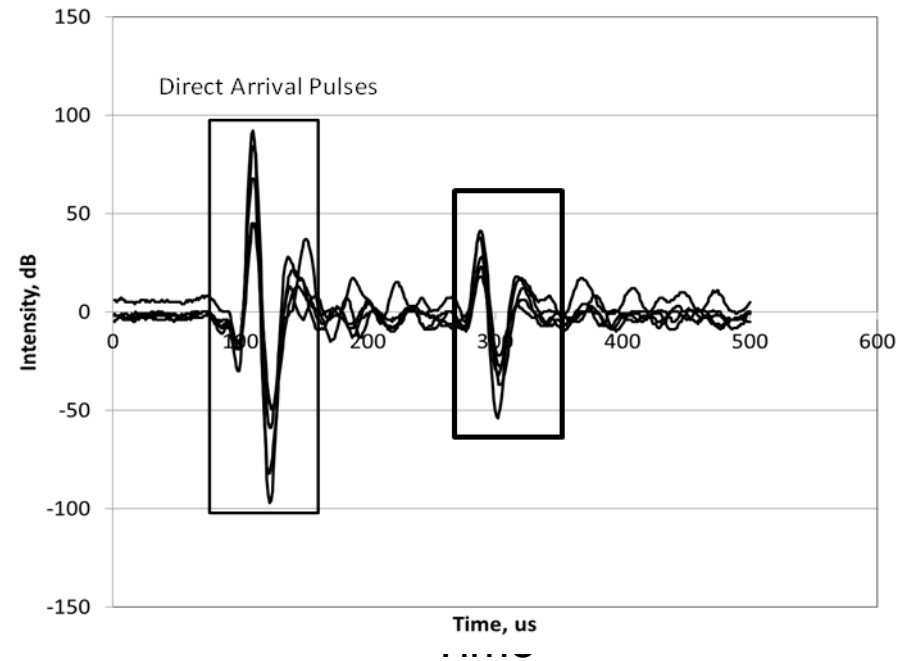
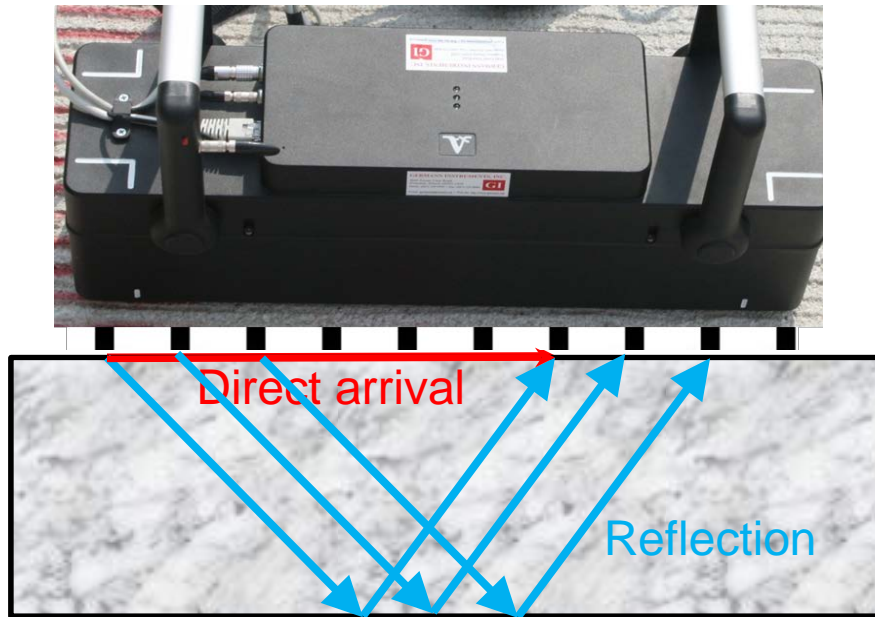


Schickert et al., 2003

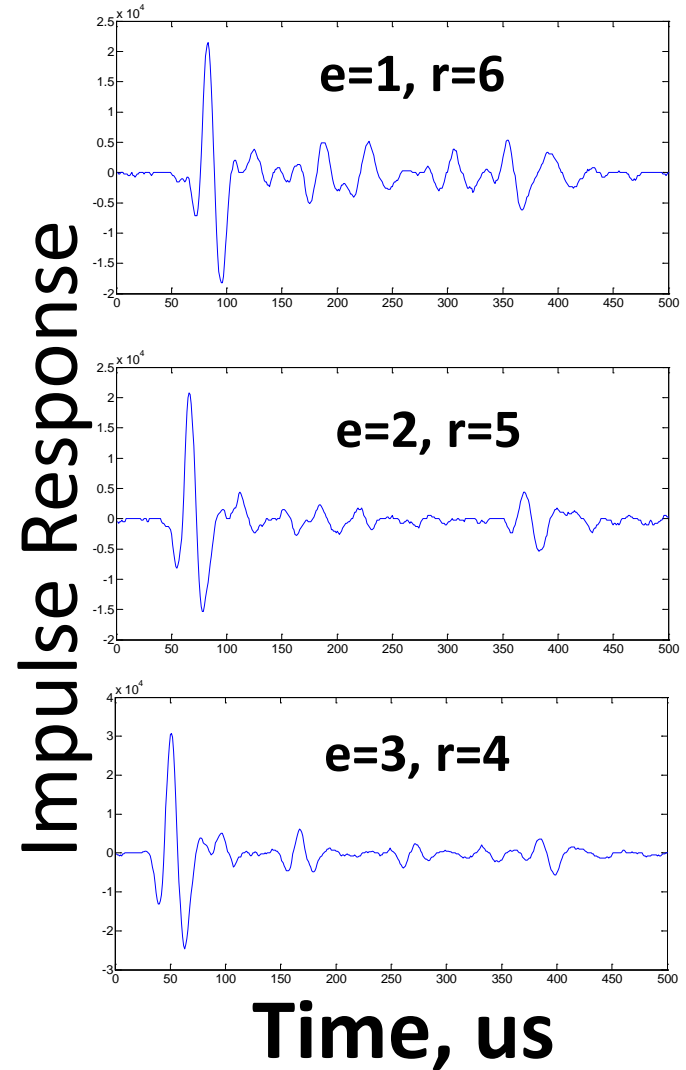
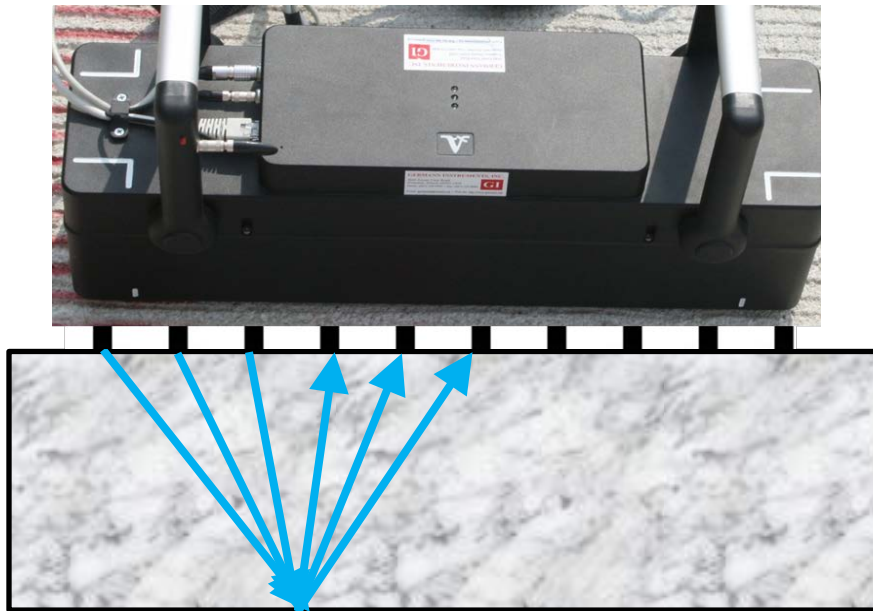
Ultrasound Array Data

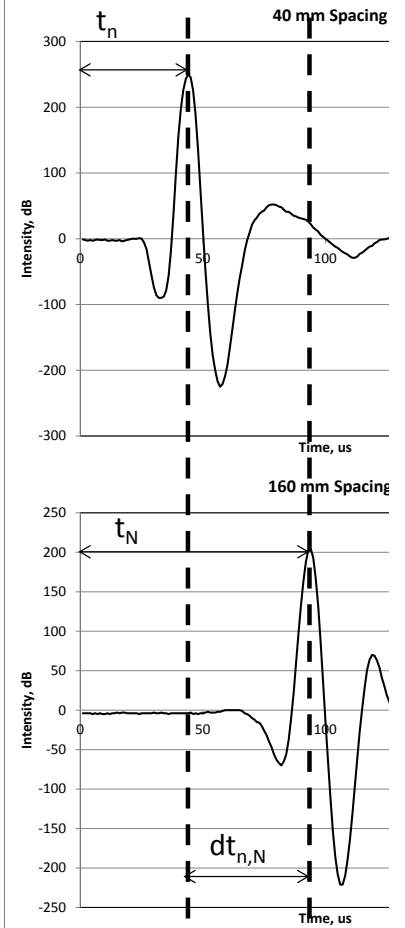
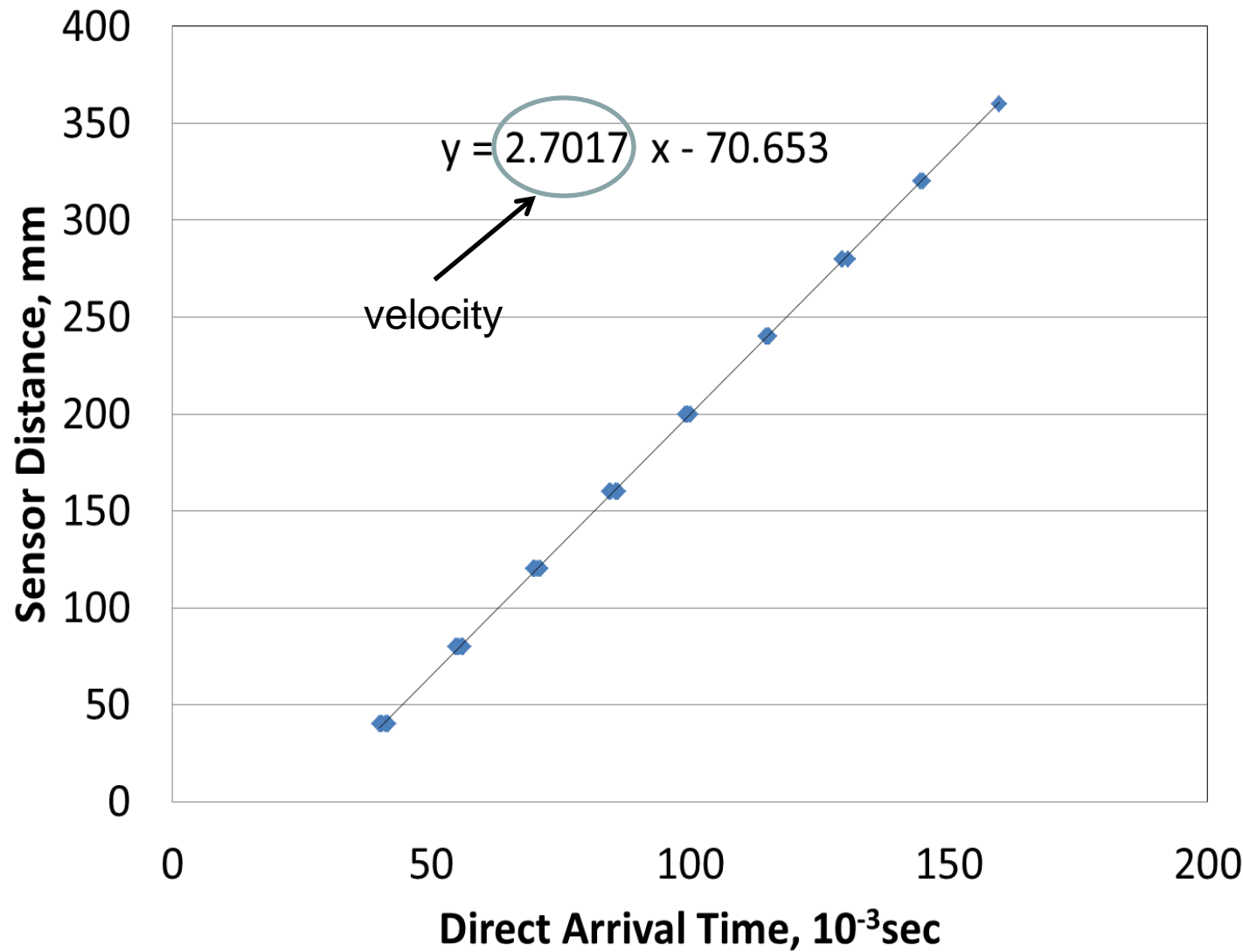


A-Scan

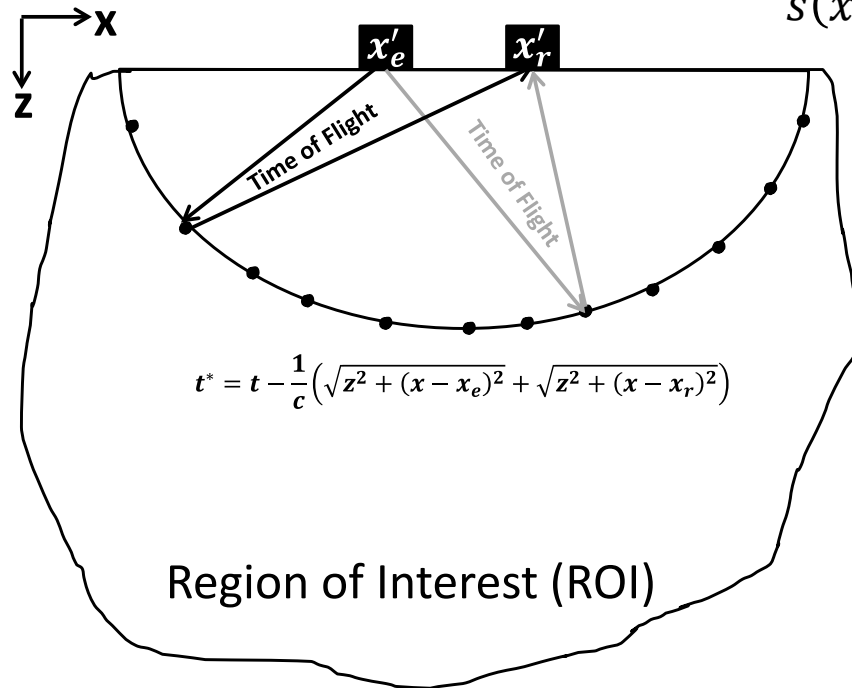


Histórico de Impulso de Onda de Cisalhamento





Matriz Linear Reconstrução de Sinal e Interpretação



$$s(x'_e, x'_r, t) = \int_x \int_z f(x, z) * \delta(t^*(t, x'_e, x'_r, x, z)) dz dx$$

$s(x'_e, x'_e, t)$ - Impluso recebido
 $\delta(t^*(t, x'_e, x'_r, x, z))$ - Impulso emitido

$f(x, z)$ - Função da reflexão
 ROI – Região de interesse com coordenadas horizontal e vertical, x e z

t^* é definido pela seguinte relação:

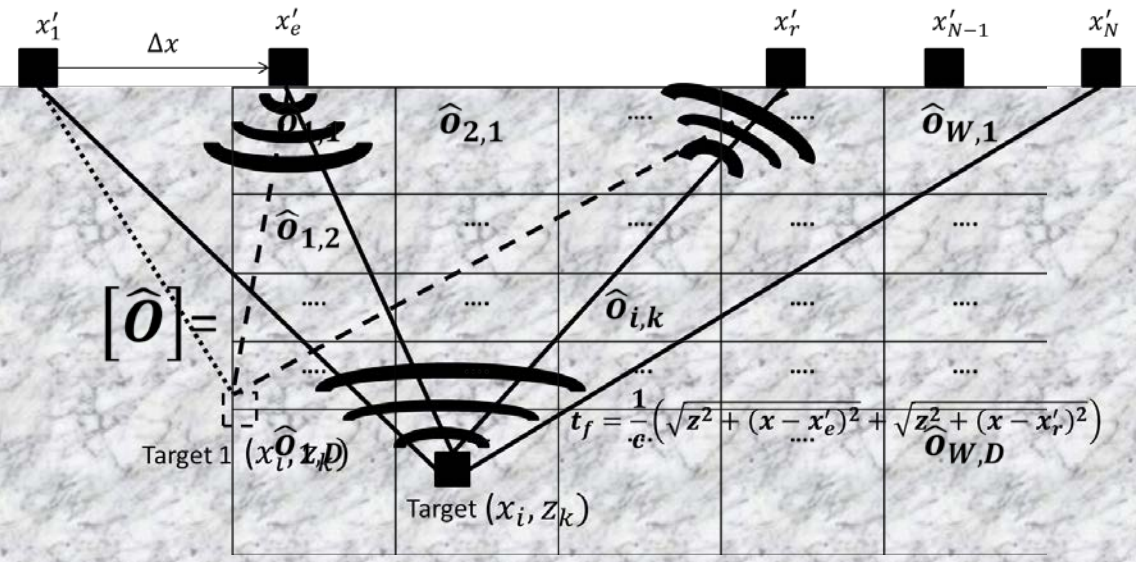
$$\Psi_R = \frac{C_{s1}\rho_1 - C_{s2}\rho_2}{C_{s1}\rho_1 + C_{s2}\rho_2} \Psi_I = \frac{Z_1 - Z_2}{Z_1 + Z_2} \Psi_I = R_{1,2} \Psi_I$$

$$t^* = t - \frac{1}{c} \left(\sqrt{z^2 + (x - x_e)^2} + \sqrt{z^2 + (x - x_r)^2} \right)$$

$$\hat{o}(x, z) = \int_{x'_{emin}}^{x'_{emax}} dx'_e \int_{x'_{rmin}}^{x'_{rmax}} A(x'_r, x'_e, x, z) * s \left(x'_r, x'_e, \frac{1}{c} \left(\sqrt{z^2 + (x - x'_e)^2} + \sqrt{z^2 + (x - x'_r)^2} \right) \right) dx'_r$$

Adaptado de Stepinski, 2007

$A(x'_r, x'_e, x, z)$ é o fator de apodização; $A(x'_r, x'_e, x_i, z_k) = \alpha_e(x'_e, x_i, z_k) * \alpha_r(x'_r, x_i, z_k)$



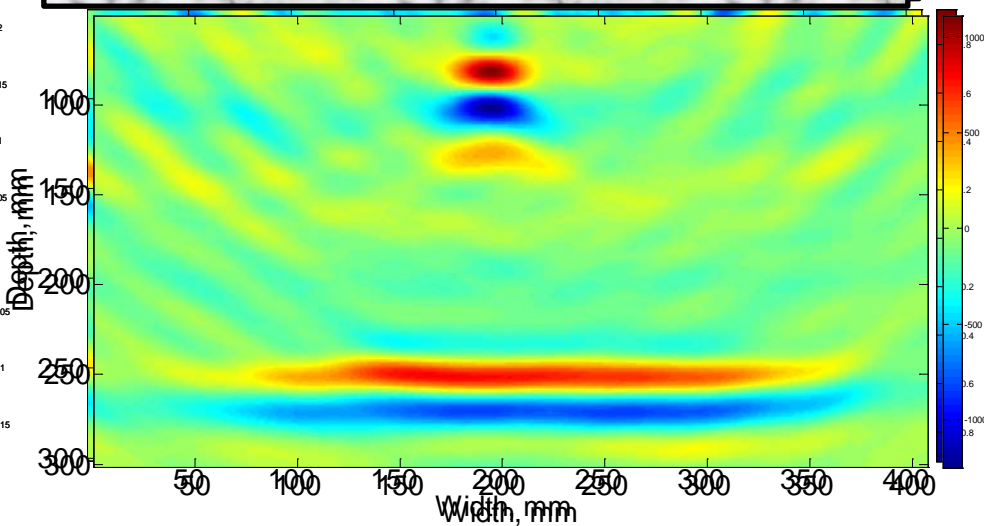
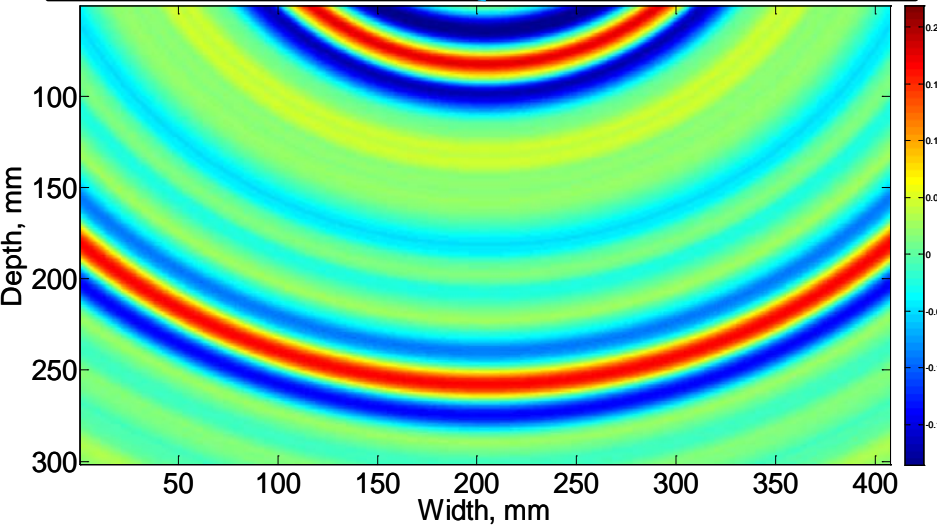
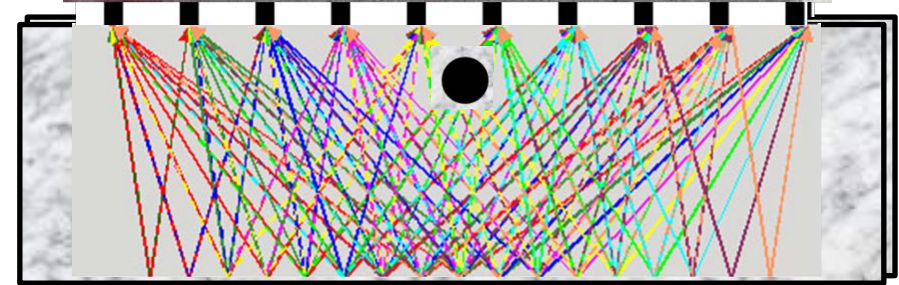
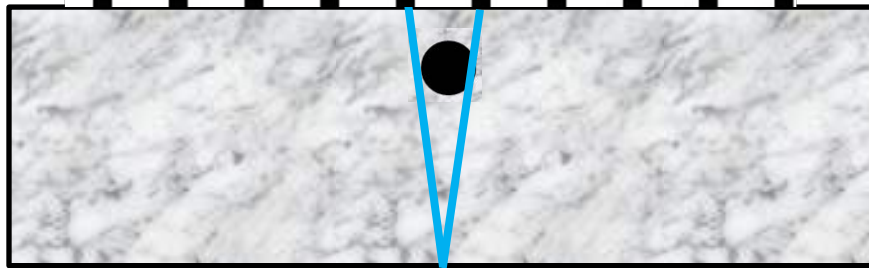
$$\alpha_e(x'_e, x_i, z_k) = \frac{z_k}{\sqrt{(x_i - x'_e)^2 + z_k^2}}$$

$$\alpha_r(x'_r, x_i, z_k) = \frac{z_k}{\sqrt{(x_i - x'_r)^2 + z_k^2}}$$

$$\hat{o}_{i,k} = \sum_{e=1}^{T-1} \sum_{r=e+1}^T A(x_r, x_e, x_i, z_k) \Psi_{e,r}(x_i, z_k)$$

$$\Psi_{e,r}(x_i, z_k) = s \left(x_r, x_e, \frac{2}{c} \left(\sqrt{z_k^2 + (x_i - x_e)^2} + \sqrt{z_k^2 + (x_i - x_r)^2} \right) \right)$$

SAFT Discrete Spatially Diverse Pairs



Transformação de Hilbert Complex Signal

$$Y(z) = \frac{1}{\pi} P \int_{-\infty}^{\infty} \frac{\chi(s)}{z-s} ds$$

$$Z(z) = \chi(z) + j Y(z)$$

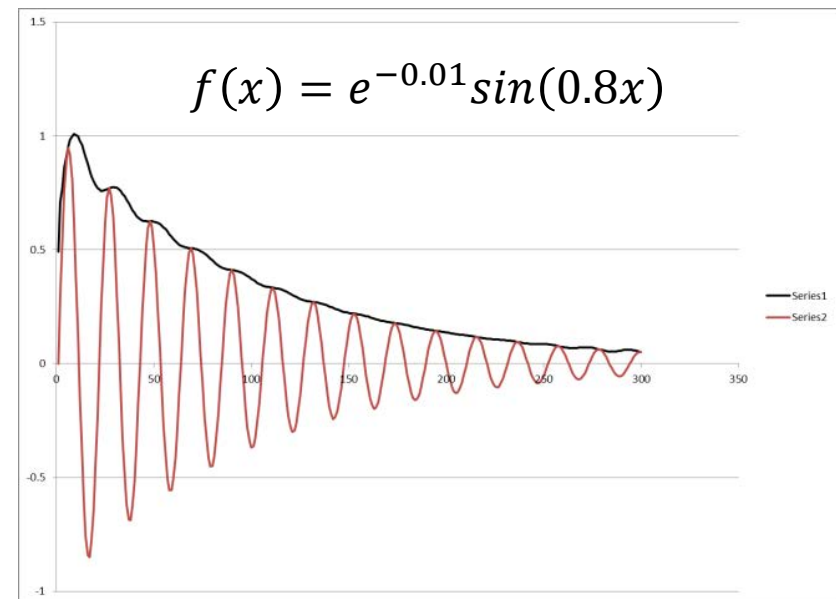
$$|Z(z)| = \sqrt{\chi(z)^2 + Y(z)^2}$$

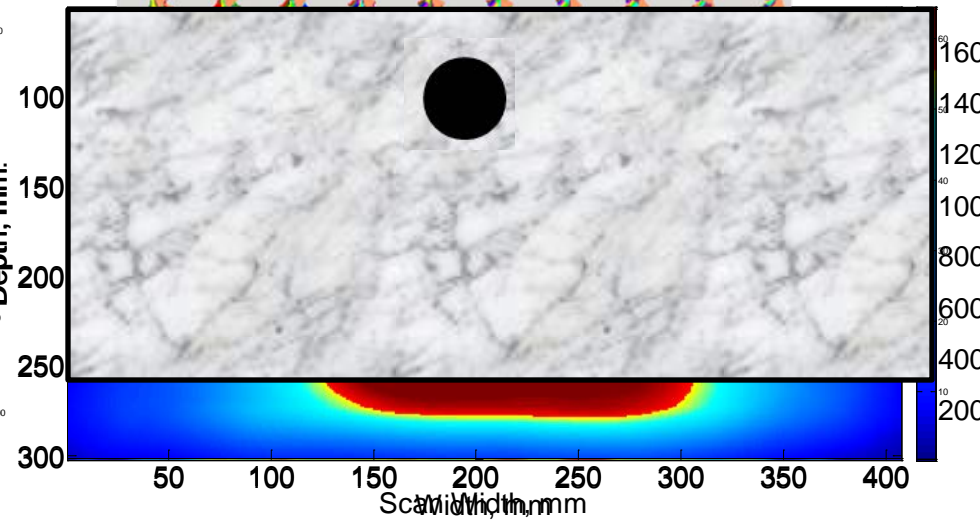
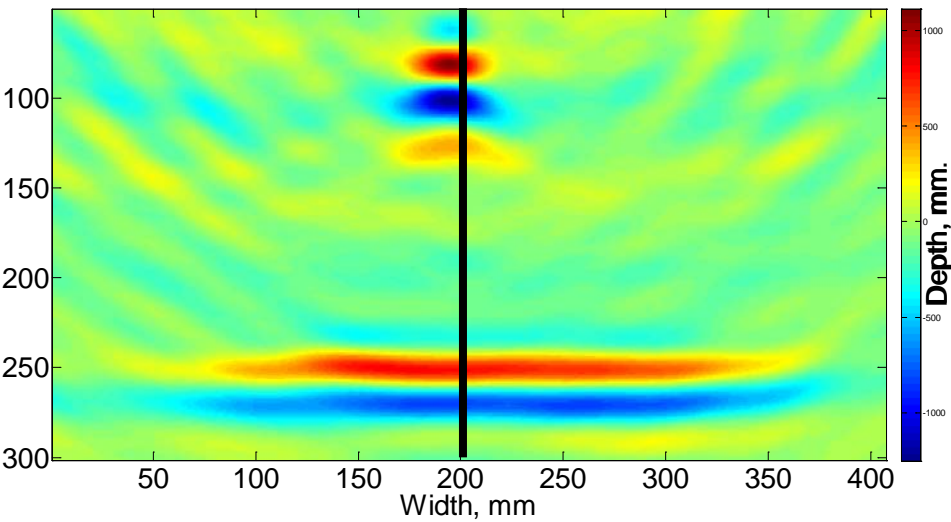
P é o valor principal da integral simples

$$\Psi_{e,r}^{IA}(t) = \sqrt{(\Psi_{e,r}(t))^2 + \left(\frac{1}{\pi} P \int_{-\infty}^{\infty} \frac{\Psi_{e,r}(s)}{t-s} ds \right)^2}$$

Onde $\Psi_{e,r}^{IA}(t)$ define a amplitude instantânea do envelope do registro histórico do par, $\Psi_{e,r}(t)$

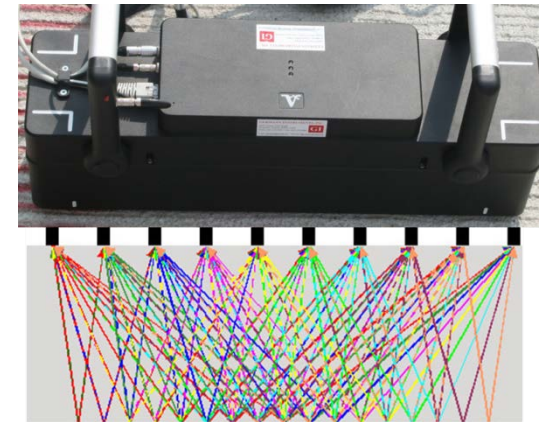
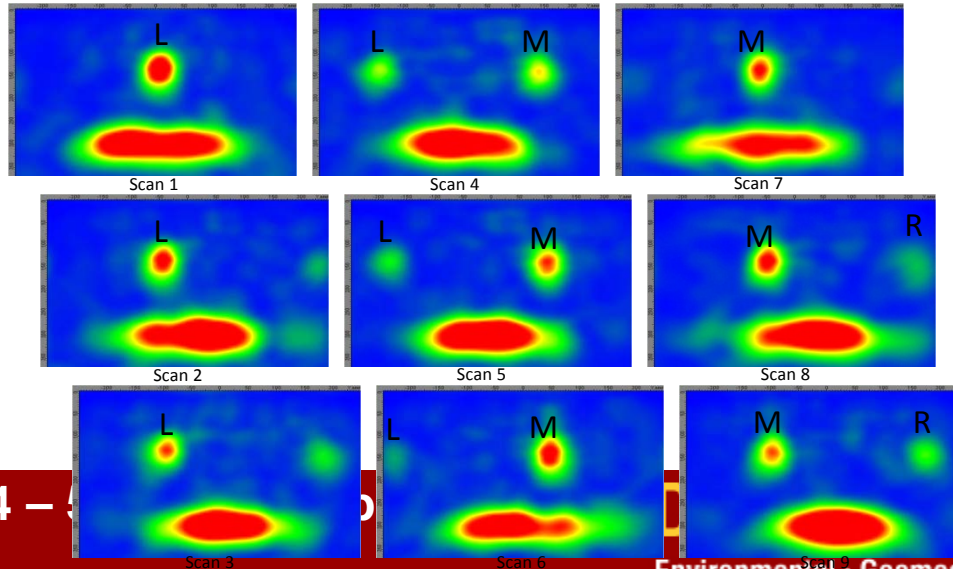
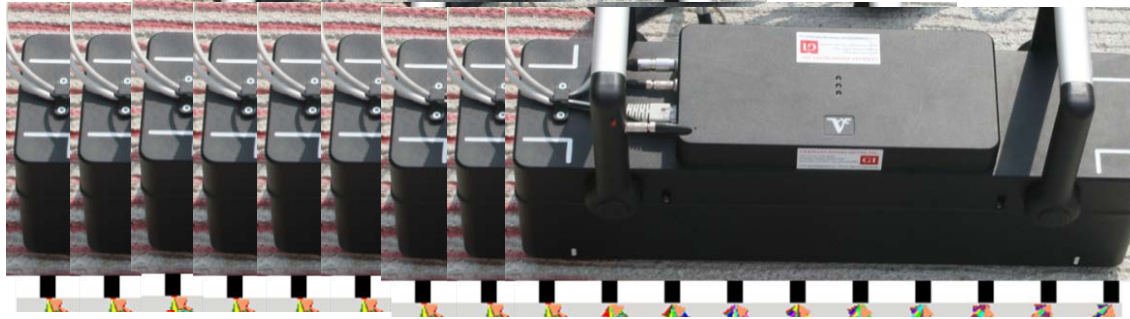
Cálculo do registro histórico do envelope
Oppenheim et al., 1989





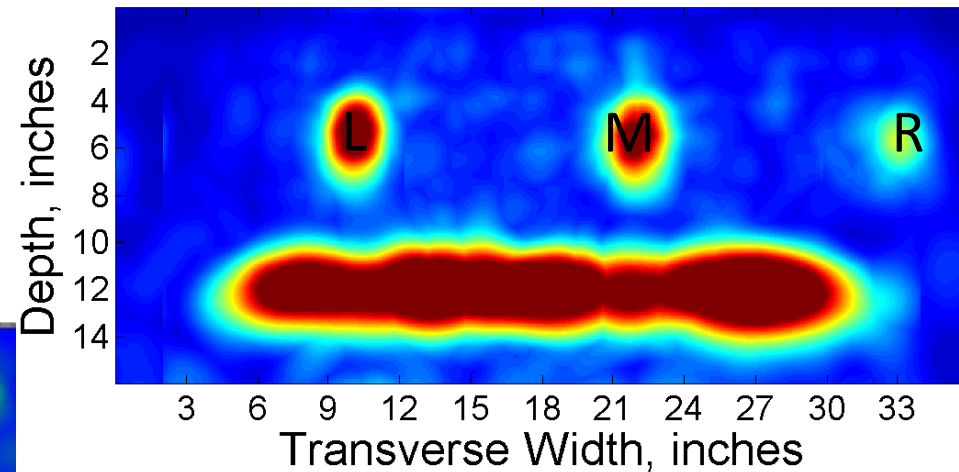
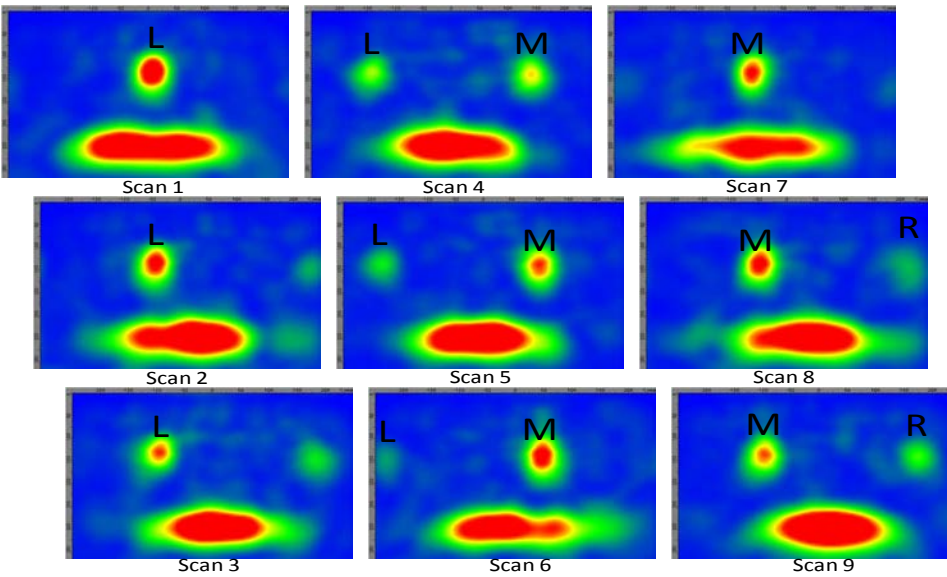
Hoegh and Khazanovich 2013

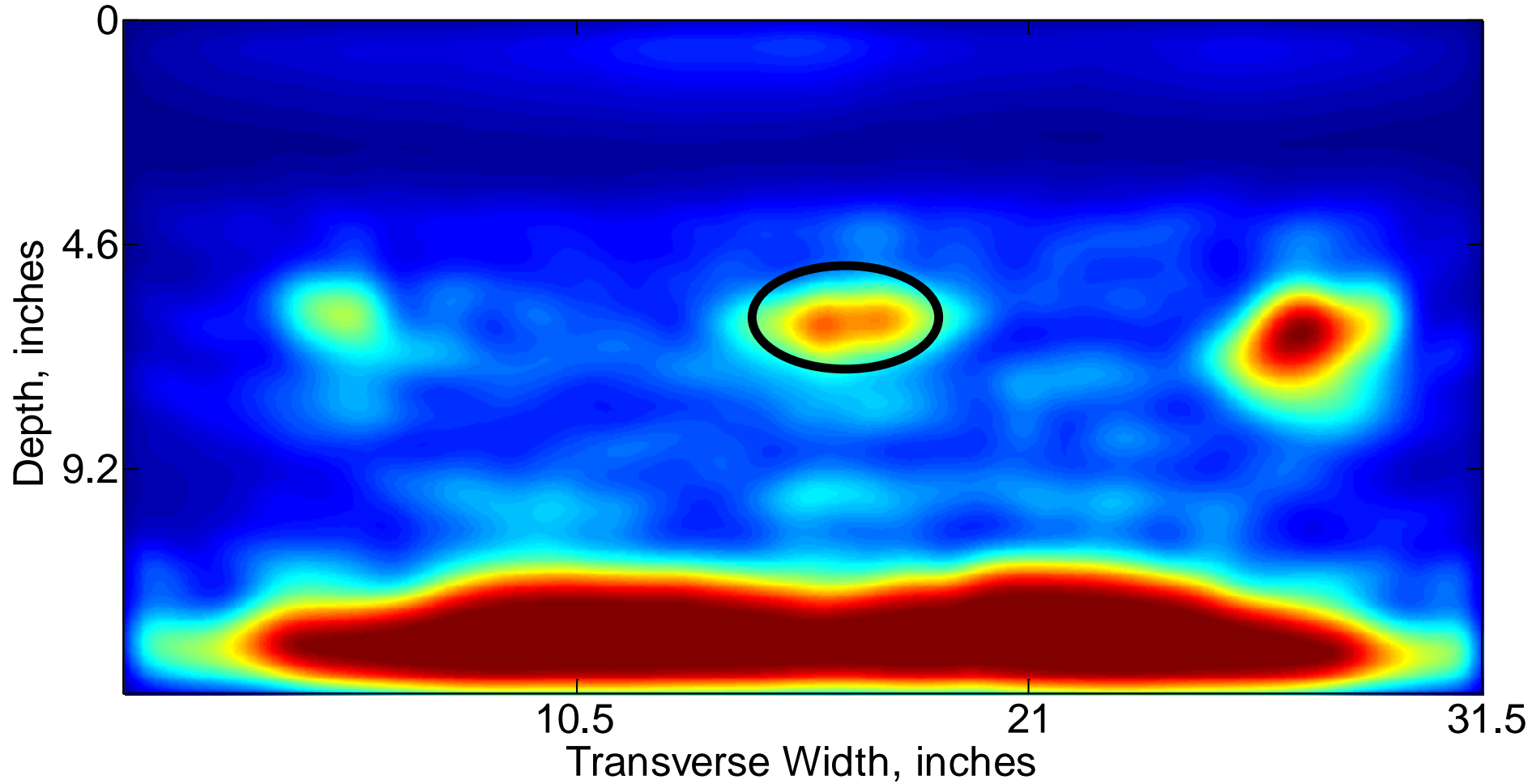
Limited Aperture Effect

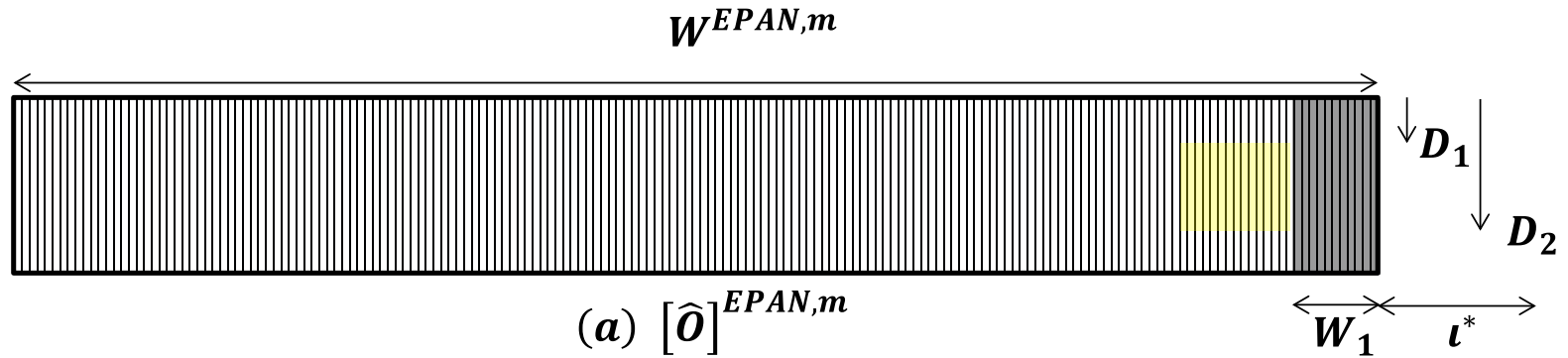


$$[\hat{\theta}]^{PAN,m} = \begin{bmatrix} 0 & 0 & \hat{\theta}_{i^*,1}^{PAN,M} & \dots & \hat{\theta}_{i^*+W-1,1}^{PAN,M} & 0 & 0 \\ 0 & 0 & \dots & \hat{\theta}_{i,k}^{PAN,M} & \dots & 0 & 0 \\ 0 & 0 & \dots & \dots & \dots & 0 & 0 \\ 0 & 0 & \hat{\theta}_{i^*,D}^{PAN,M} & \dots & \hat{\theta}_{W,D}^{PAN,M} & 0 & 0 \end{bmatrix}$$

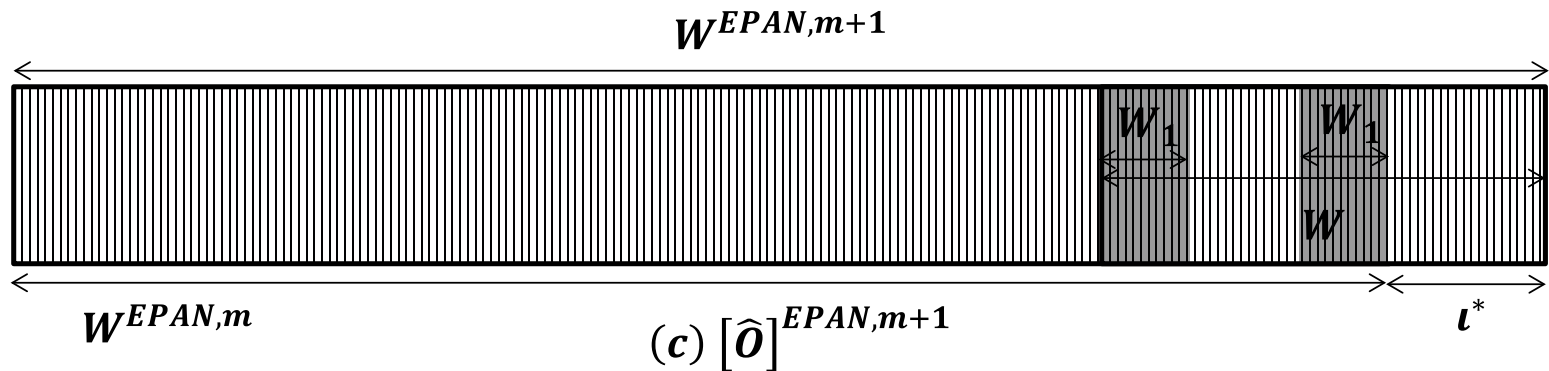
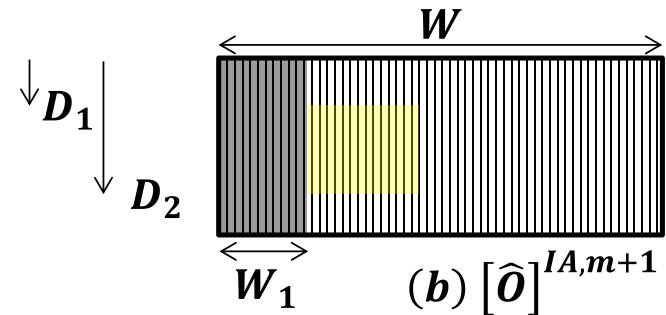
$$\hat{\theta}_{k,i}^{PAN} = \max_m (\hat{\theta}_{k,i}^{EPAN,m}) \text{ for all } k \text{ and } i \text{ in the } ROI_{PAN}$$







Para cada l na faixa $[l_1, l_2]$



$$H(\iota) = \frac{\sum_{i=W_1+1}^{W-W_1-\iota} \sum_{k=D_1}^{D_2} \left(\hat{\mathbf{o}}_{W^{EPAN,m}-W+\iota+i,k}^{EPAN,m} - \hat{\mathbf{o}}_{mean}^{EPAN,m} \right) \left(\hat{\mathbf{o}}_{i,k}^{m+1} - \hat{\mathbf{o}}_{mean}^{m+1} \right)}{\sum_{i=W_1+1}^{W-W_1-\iota} \sum_{k=D_1}^{D_2} \left(\hat{\mathbf{o}}_{W^{EPAN,m}-W+\iota+i,k}^{EPAN,m} - \hat{\mathbf{o}}_{mean}^{EPAN,m} \right)^2 \sum_{i=W_1+1}^{W-W_1-\iota} \sum_{k=D_1}^{D_2} \left(\hat{\mathbf{o}}_{i,k}^{m+1} - \hat{\mathbf{o}}_{mean}^{m+1} \right)^2}$$

$$\hat{\mathbf{o}}_{mean}^{EPAN,m} = \frac{\sum_{i=W^{EPAN,m}-W_1}^{W^{EPAN,m}-W+\iota+W_1+1} \sum_{k=D_1}^{D_2} \hat{\mathbf{o}}_{i,k}^{EPAN,m}}{(W - 2W_1 - \iota)(D_2 - D_1 + 1)}$$

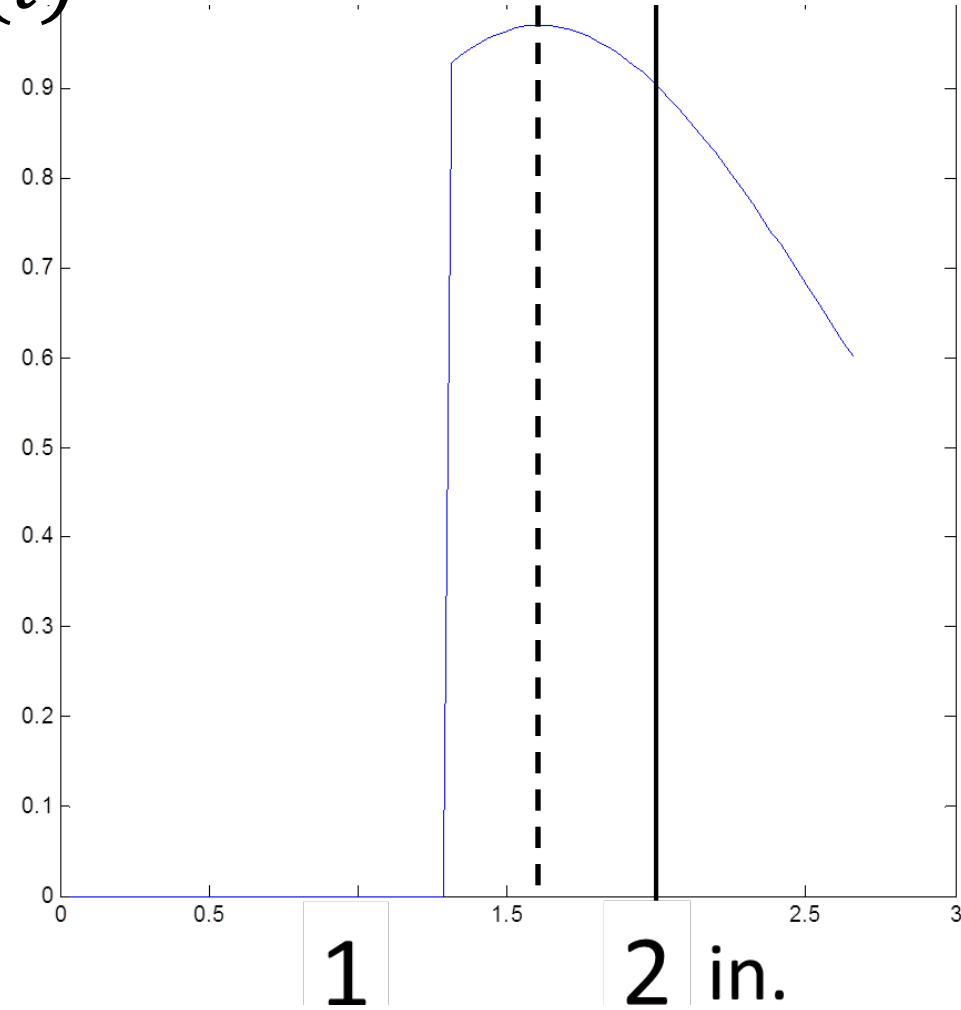
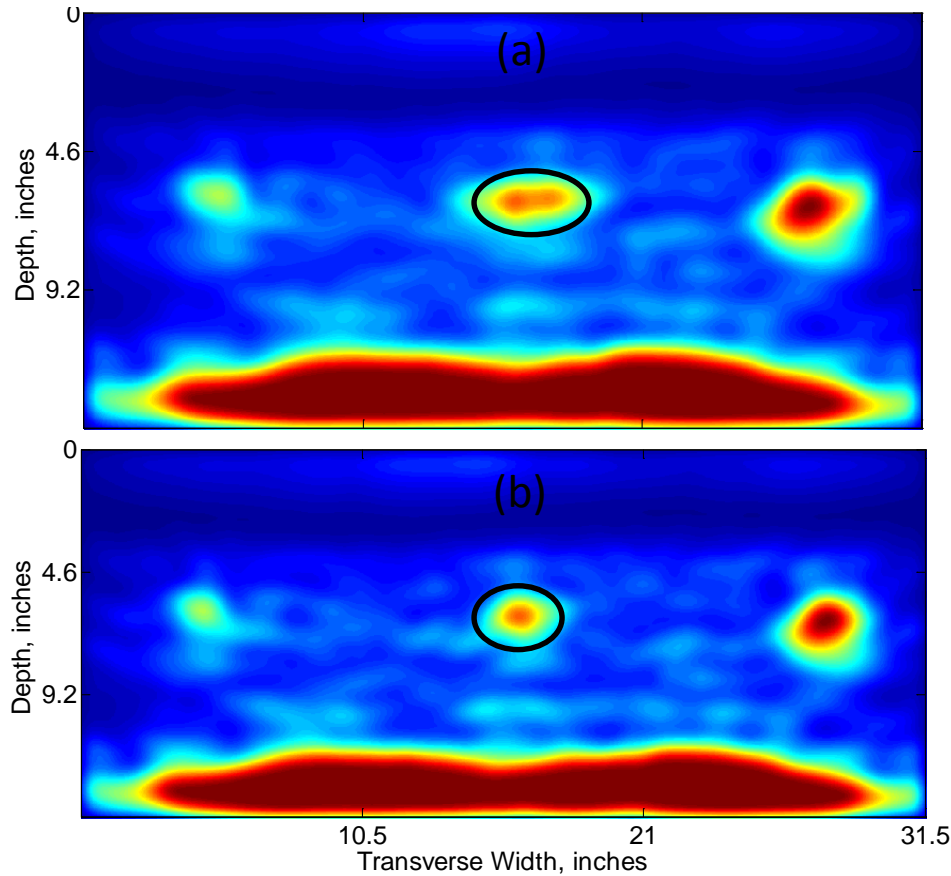
ι na faixa $[\iota_1, \iota_2]$

$$\hat{\mathbf{o}}_{mean}^{m+1} = \frac{\sum_{i=W_1+1}^{W-W_1-\iota} \sum_{k=D_1}^{D_2} \hat{\mathbf{o}}_{i,k}^{m+1}}{(W - 2W_1 - \iota)(D_2 - D_1 + 1)}$$

$$\hat{\mathbf{o}}_{i,k}^{EPAN,m+1} = \hat{\mathbf{o}}_{i,k}^{EPAN,m} \text{ for } i < W^{EPAN,m} - W + \iota^* + W_1$$

$$\hat{\mathbf{o}}_{i,k}^{EPAN,m+1} = \max \left(\hat{\mathbf{o}}_{i,k}^{EPAN,m}, \hat{\mathbf{o}}_{i-W^{EPAN,m}+W-\iota^*,k}^{m+1} \right) \text{ for } W^{EPAN,m} < i \leq W^{EPAN,m+1}$$

$$H(l)$$



Aplicacoes

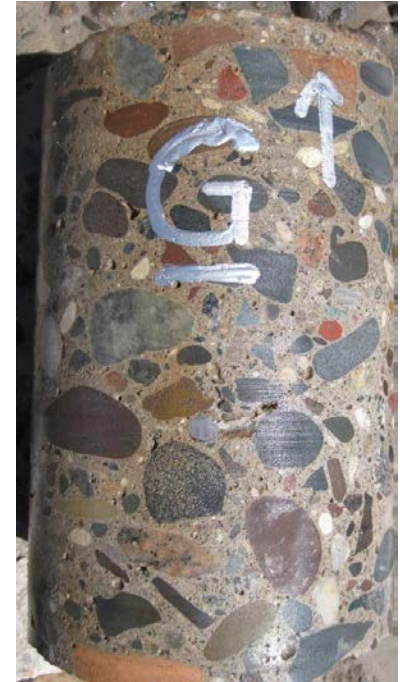
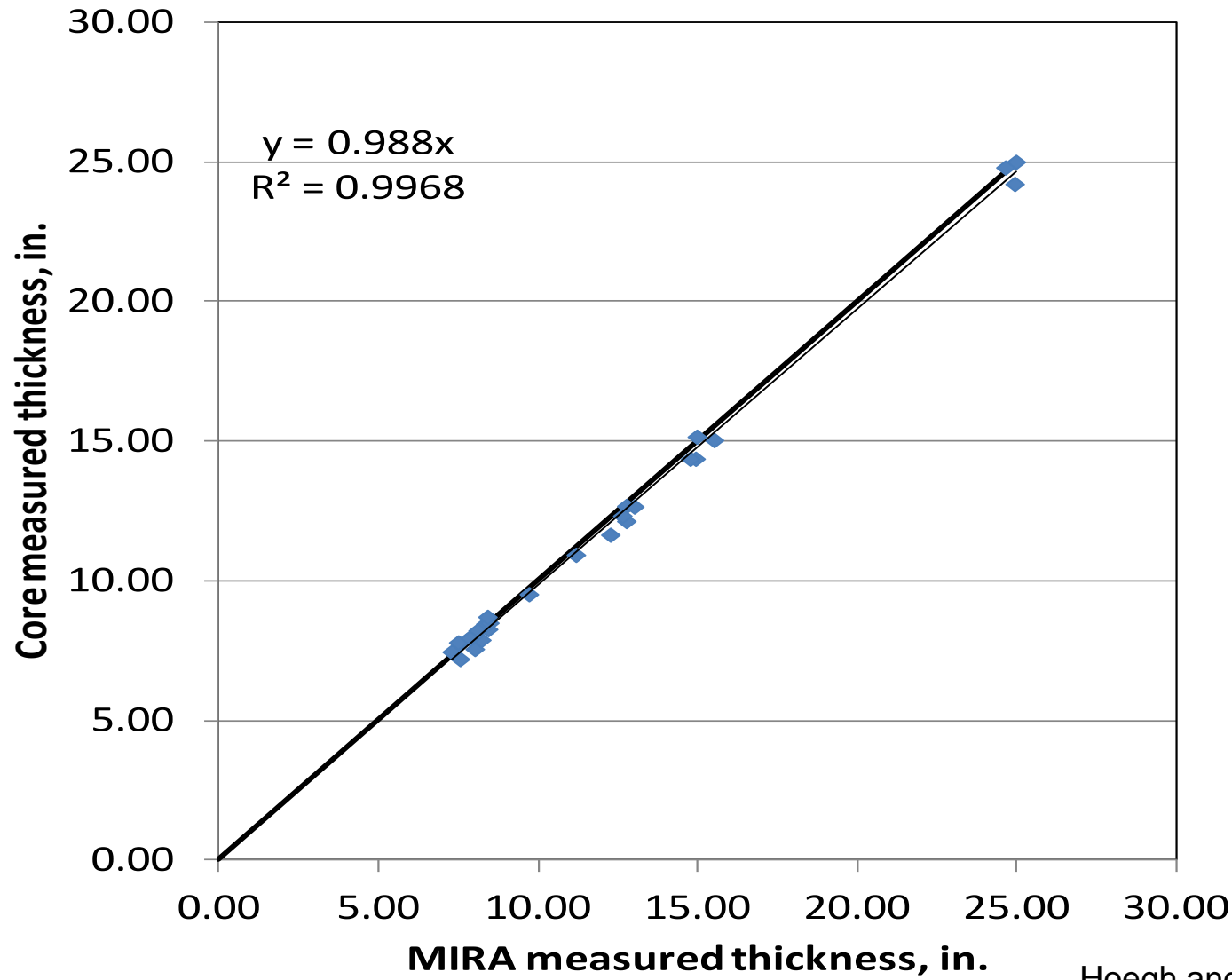
Queremos o extensor de Minnesota para o MIRA!

Anne Beeldens, Belgian Road Research Centre

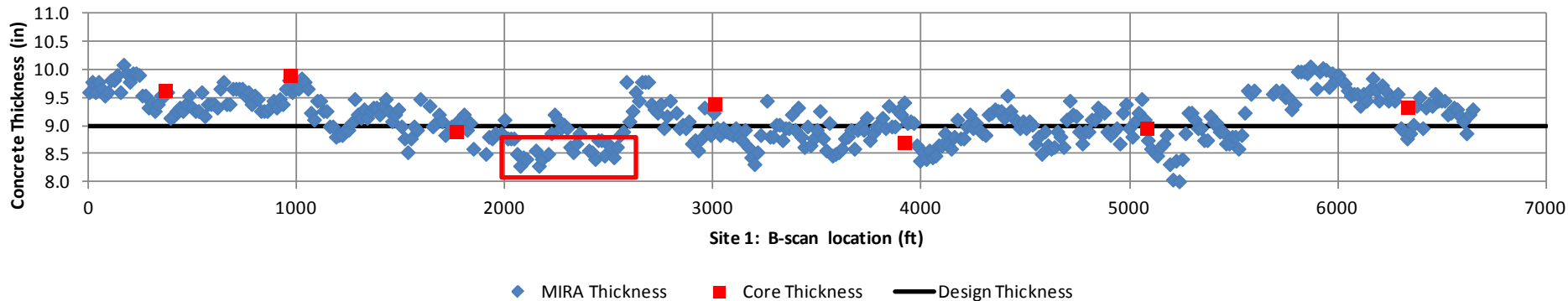


- Espessuras de Pavimentos de Concreto
- Posicao de armaduras, barras de transferencia de carga e barras de ligacao
- Posicao de delaminacoes
- Degradacao subsuperficial
- Adensamento inadequado do concreto, “bicheiras”, torroes de argila, etc.
- Degradacao das juntas de pavimentos
- Aderencia do aco ao concreto

Concrete Thickness



Hoegh and Khazanovich, TRB 2014

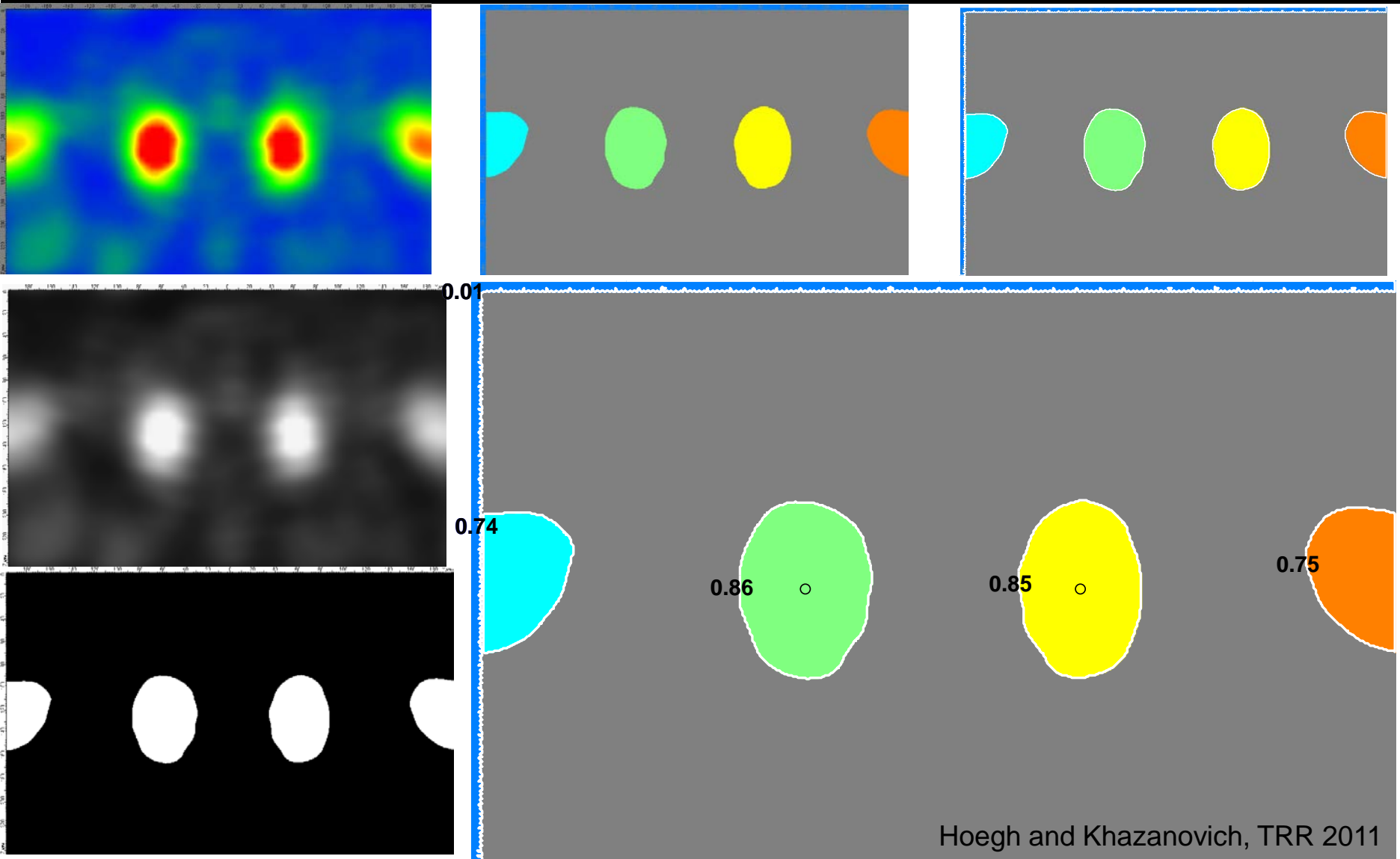


Mais de 400 medidas em menos de uma hora

- Interpretação automatizada
- Sem necessidade de calibração adicional
- Boa concordância com amostras extraídas
- Variações em espessuras

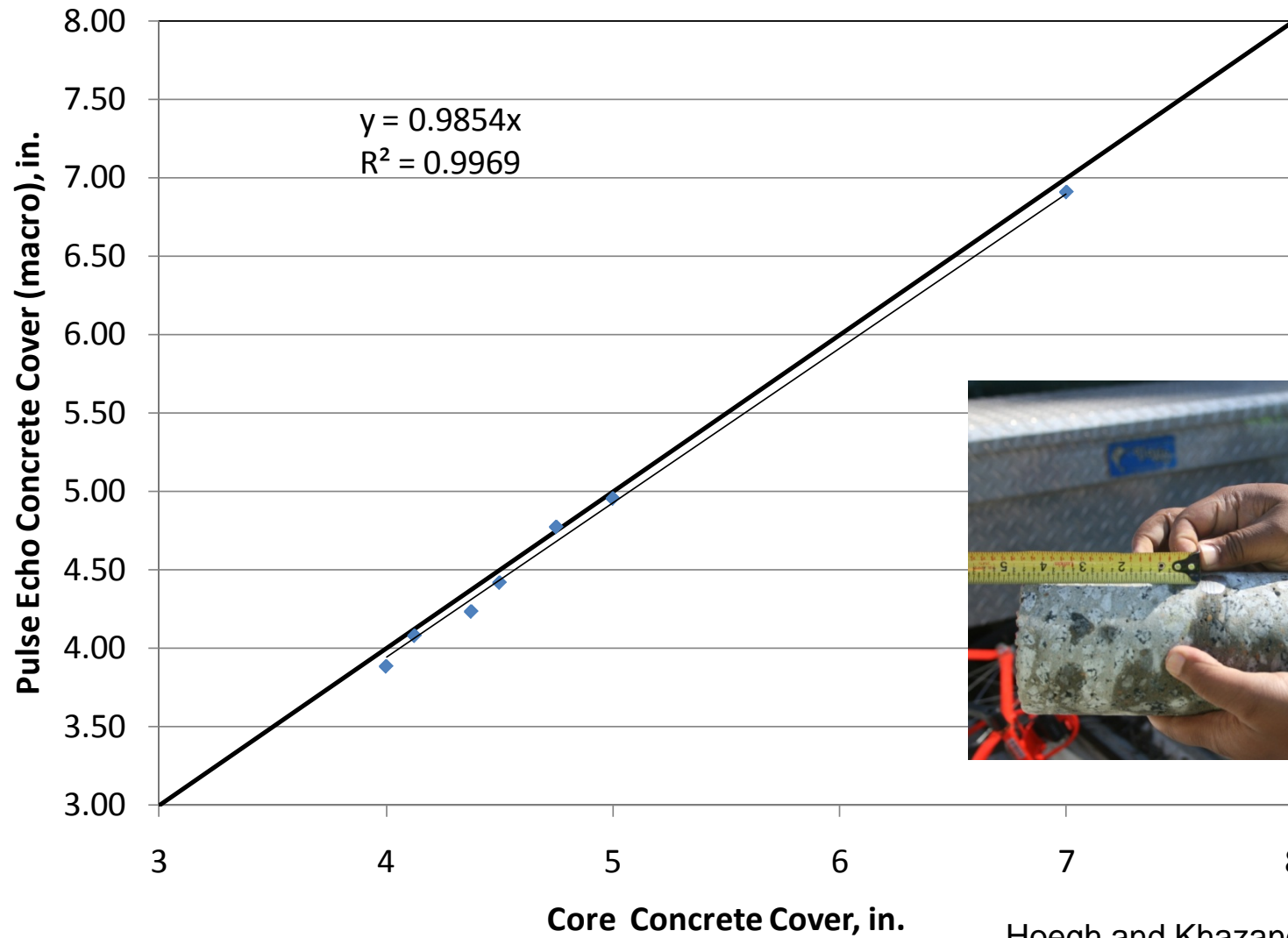
Vancura et al, TRR 2013

Reinforcement Location



Hoegh and Khazanovich, TRR 2011

MIRA vs Core Concrete Cover



Hoegh and Khazanovich, TRR 2011

Field Application – Atlanta Georgia Continuously Reinforced Pavement

UNIVERSITY OF MINNESOTA
Driven to DiscoverSM

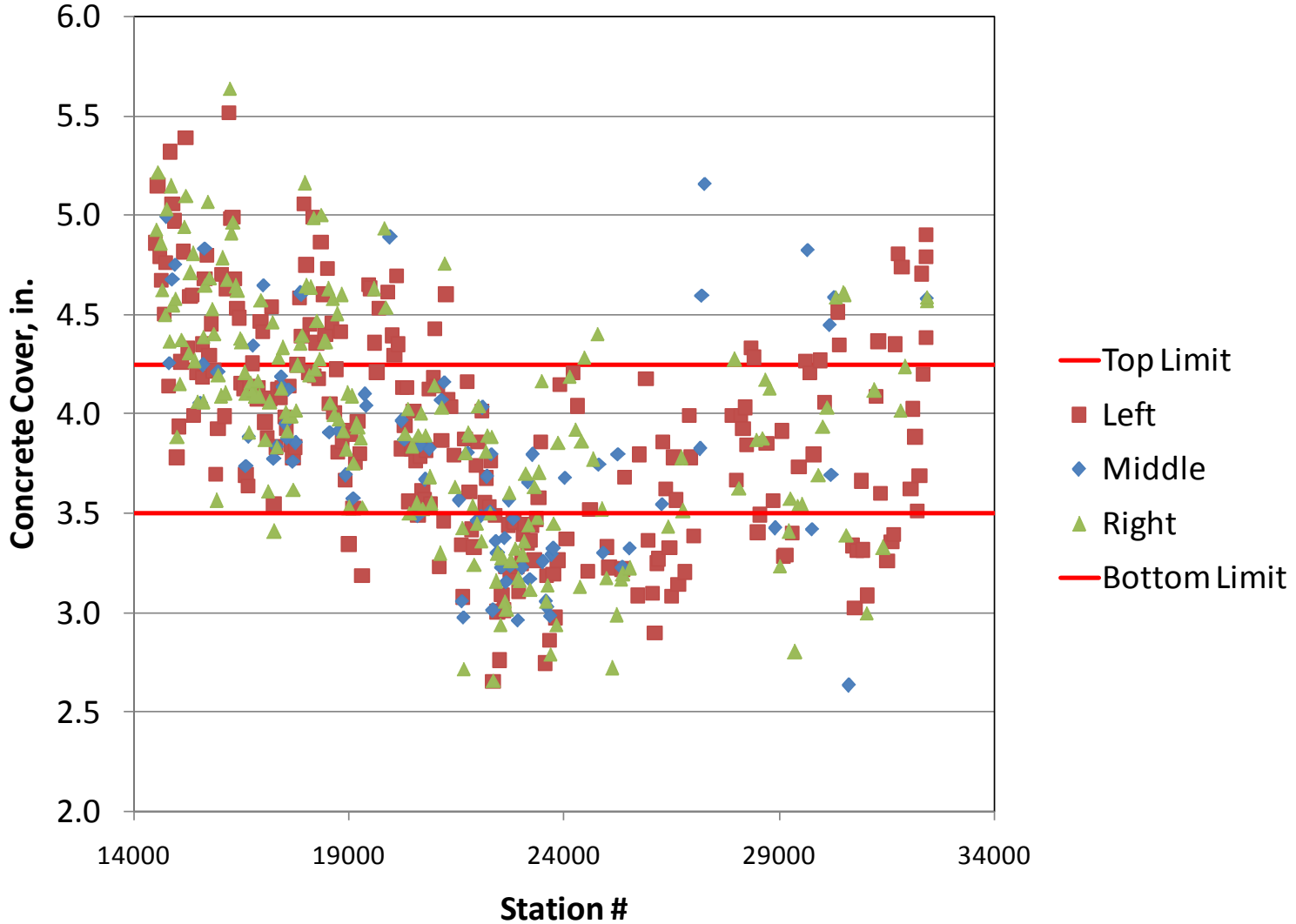
Measurements of pavement thickness and longitudinal rebar concrete cover for project (about 5 km of testing in 15 m intervals).



CBC2014 – 56CBC
October 10, 2014

Department of Civil Engineering

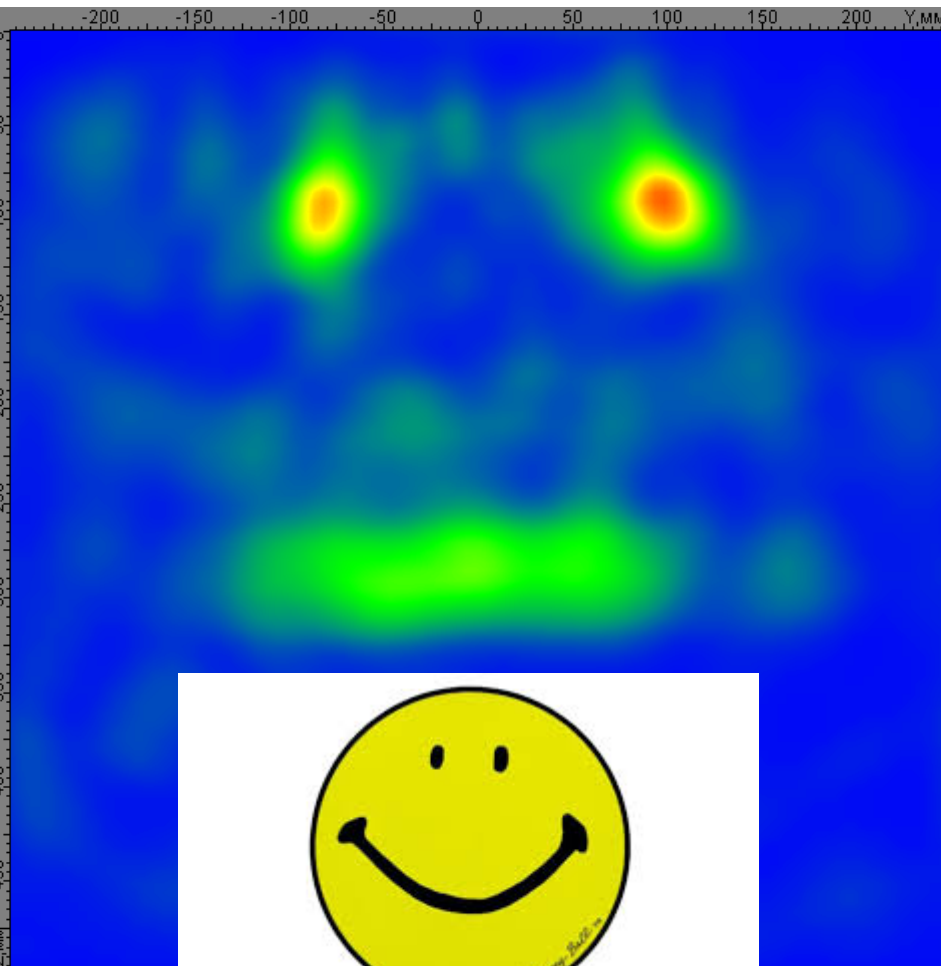
Environmental · Geomechanical · Structures · Transportation · Water Resources



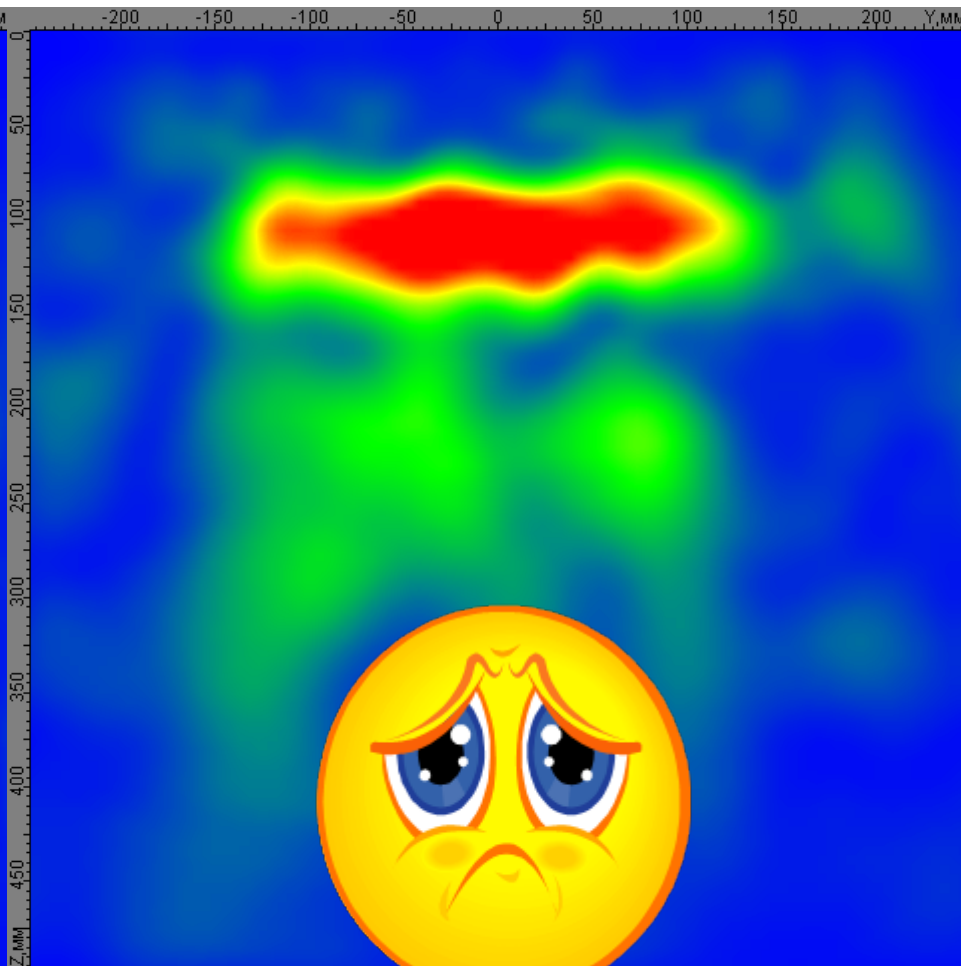


Antwerpen, Belgium. Continuously Reinforced Concrete

Not Delaminated



Delaminated

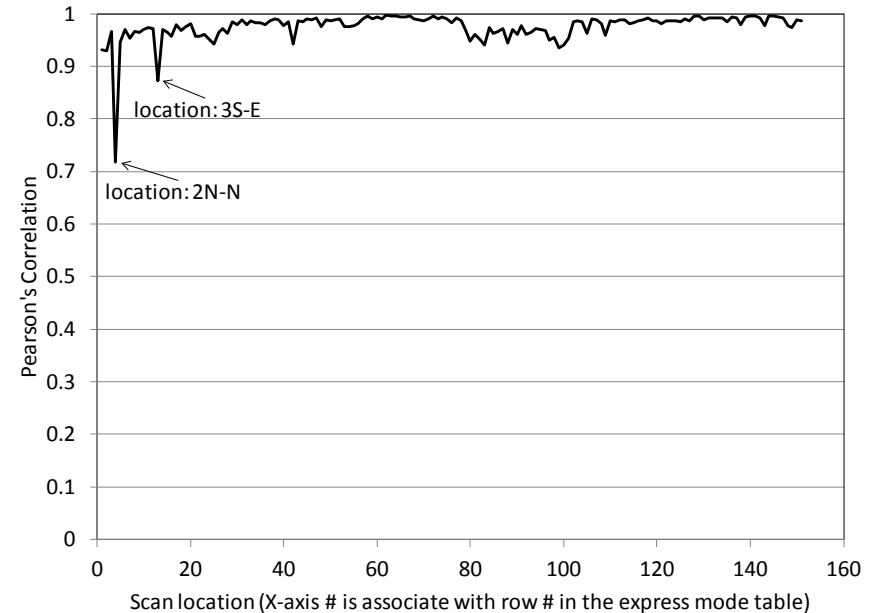


Beeldens et al, 2014

Análise de Tomográfica Ultrassônica de Dados (UTSA) usando Correlação de Pearson

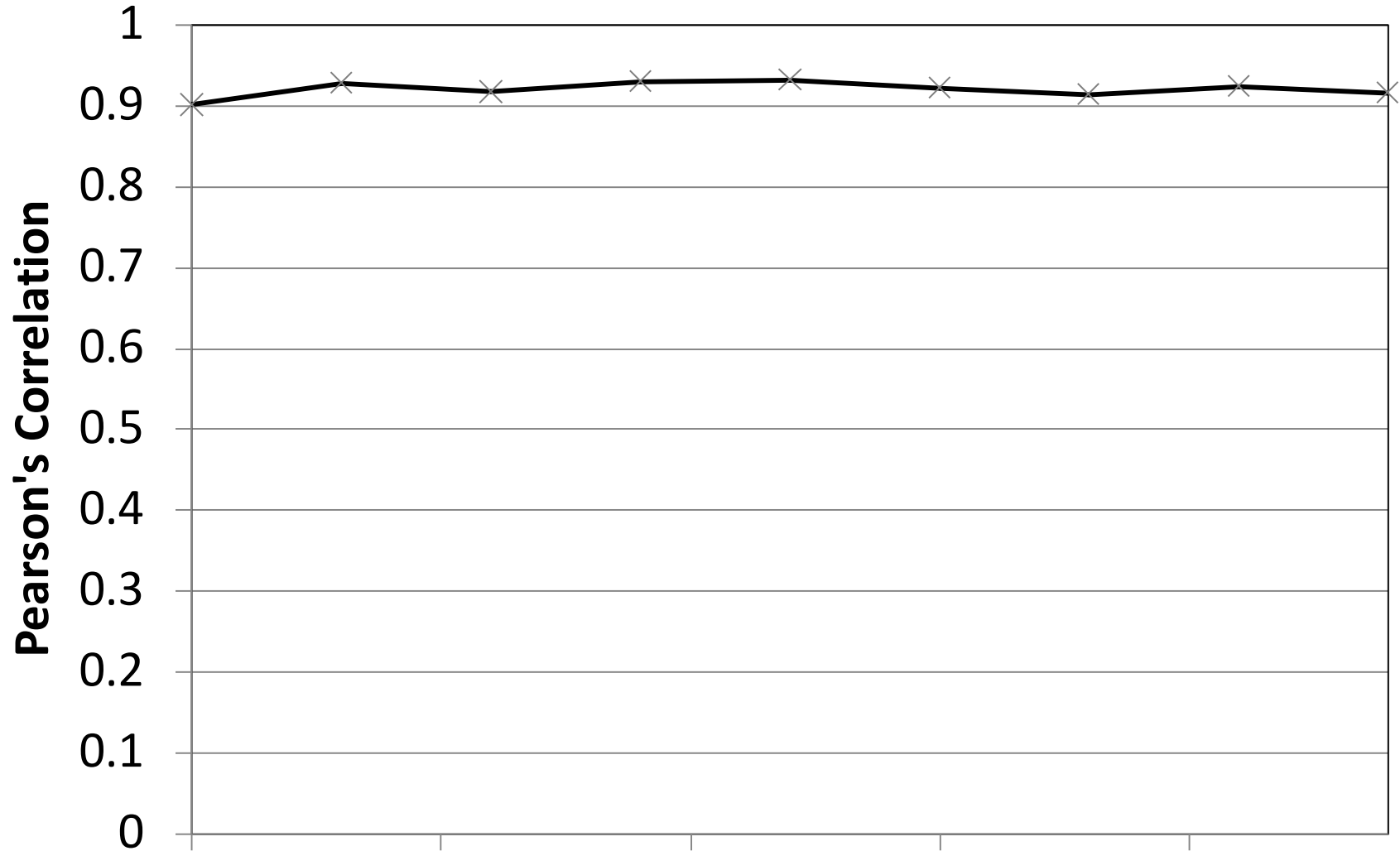
$$C^{IA,m} = \frac{Cov \left[[\hat{\theta}]^{IA,ref}, [\hat{\theta}]^{IA,m} \right]}{\sqrt{Var \left[[\hat{\theta}]^{IA,ref} \right] Var \left[[\hat{\theta}]^{IA,m} \right]}}$$

$$= \frac{\sum_{i=1}^W \sum_{k=1}^D (\hat{\theta}_{i,k}^{IA,ref} - \hat{\theta}_{mean}^{IA,ref}) (\hat{\theta}_{i,k}^{IA,m} - \hat{\theta}_{mean}^{IA,m})}{\sum_{i=1}^W \sum_{k=1}^D (\hat{\theta}_{i,k}^{IA,ref} - \hat{\theta}_{mean}^{IA,ref})^2 \sum_{i=1}^W \sum_{k=1}^D (\hat{\theta}_{i,k}^{IA,m} - \hat{\theta}_{mean}^{IA,m})^2}$$

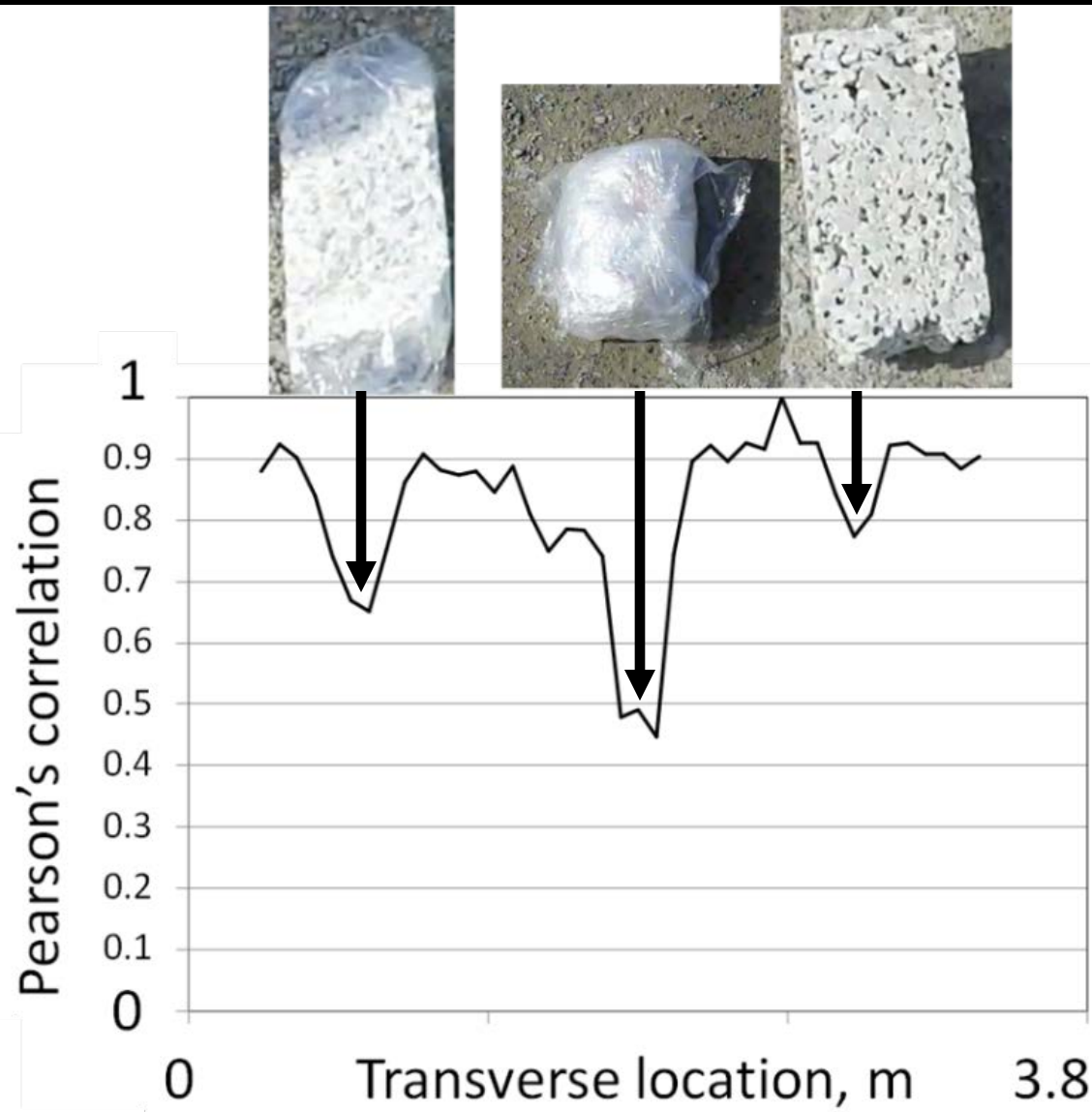


$[\hat{\theta}]^{IAref}$ and $[\hat{\theta}]^{IA,m}$ são as matrizes para a referência e m -ésima SAFT-IA B-scan

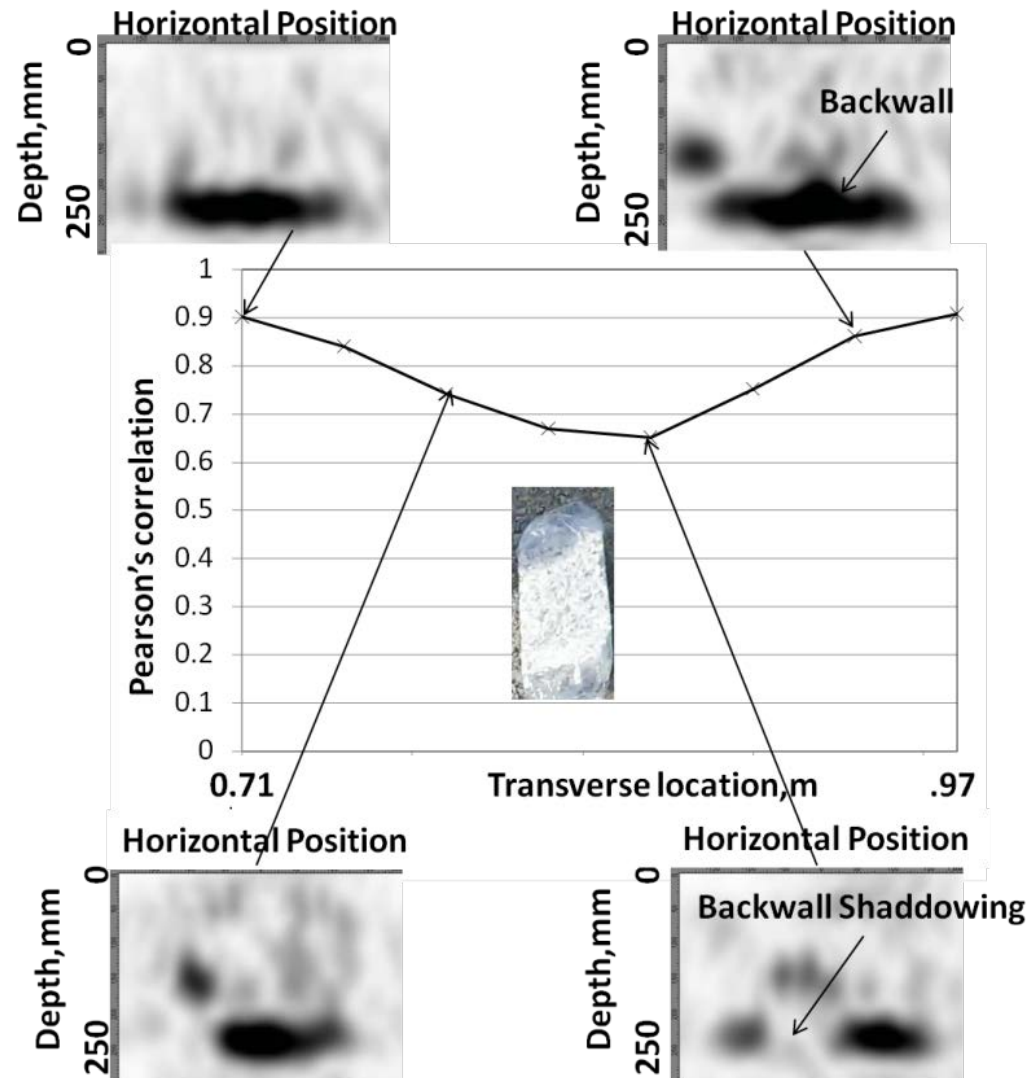
Hoegh and Khazanovich, ASTM JTE 2012



Correlelogram of Concrete with Defects



Zoomed –in View, Leftmost Fabricated Defect



- Diagnostico nao-destrutivo de estruturas de concreto e um problema importante e cheio de desafios
- Melhorias feitas no equipamento MIRA tornou possivel a avaliacao quantitativa de condicoes subsuperficiais
- *Generalized Kirchhoff migration-based synthetic aperture focusing technique (SAFT)* para reconstrucao e demais tecnicas associadas são ferramentas promissoras para a solucao de problemas praticos